

2018 IDAJ为中国新能源汽车加速整车/新能源汽车关键性仿真技术



无人驾驶 | 新能源整车EMC | 动力性及能量管理 | 动力锂电池 | 结构可靠性

武汉 | 重庆 | 上海 | 广州 | 北京 | 长春巡回研讨会

# ANSYS电池模型最佳实践 基于ECM的电池(系统)动态性能仿真

IDAJ-China 技术部 唐连伟 陈桂杰

Copyright (C) IDAJ Co., LTD. All Rights Reserved.

### 目录

- 1. 概述
- 2. ANSYS电池仿真方案介绍
- 3. 基于ECM的电池(系统)动态特性仿真最佳实践
- 4. 小结及致谢

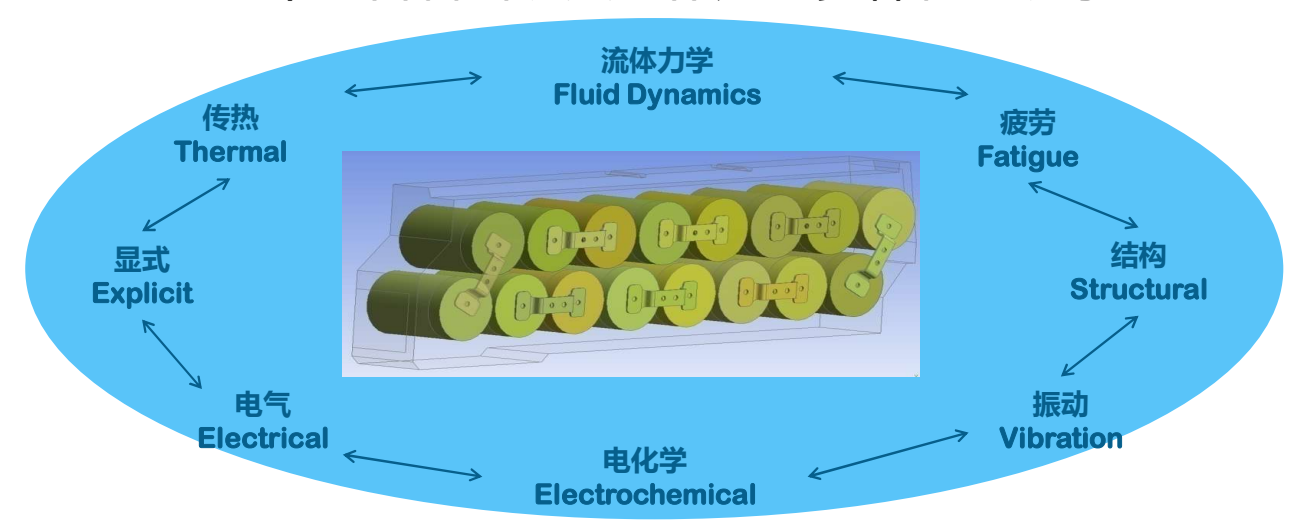
### 目录

- 1. 概述
- 2. ANSYS电池仿真方案介绍
- 3. 基于ECM的电池(系统)动态特性仿真最佳实践
- 4. 小结及致谢



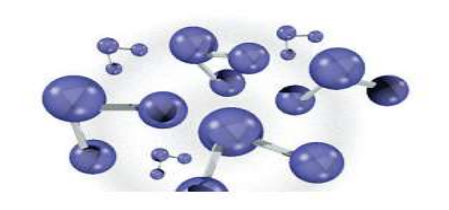
### 概述: 电池多物理现象仿真

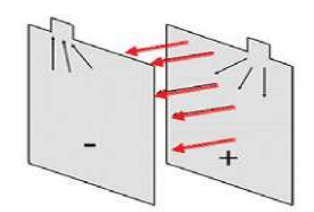
#### 电池中包含着密切交互作用的多种物理现象



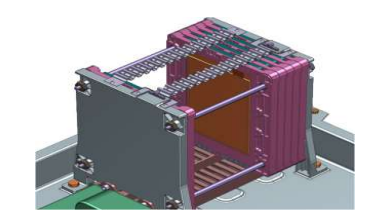
电池的仿真需要单一物理领域到多个物理领域结合的全面仿真方案

## 概述: 电池多域仿真











分子	电极	电池	模块/包	系统集成
材料	布局 过程 寿命 SEI	充电 放电 热 安全	热管理 持久性 NVH EMI/EMC	系统集成
	Electro- chemistry	ECM CFD FEA	ECM CFD ROM FEA	ECM ROM

Copyright (C) IDAJ Co., LTD. All Rights Reserved.



### 概述: ANSYS电池仿真方案汇总

#### 单物理场领域

- 基于CFD的电池热管理
- ■电化学模型
  - Newman Pseudo-2D (P2D) model
  - 3D electrochemistry model
- 单电池等效电路模型(ECM)
- ■电池结构分析

#### 多物理场领域

■ 多尺度多维度方法 (MSMD)

#### 电池系统

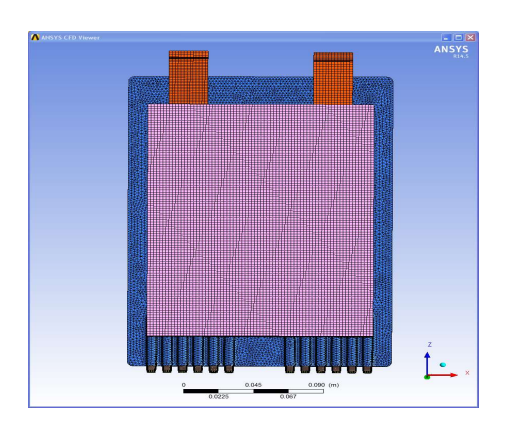
- 使用降阶模型(ROM)的电池热管理
- 耦合ECM与ROM的电池系统仿真

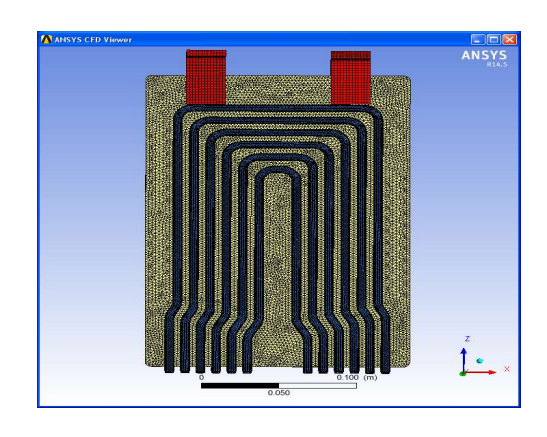
### 目录

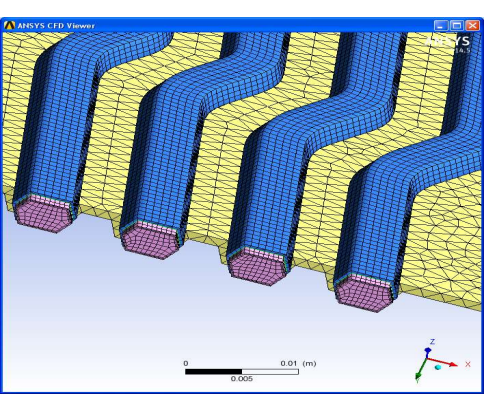
- 1. 概述
- 2. ANSYS电池仿真方案介绍
- 3. 基于ECM的电池(系统)动态特性仿真最佳实践
- 4. 小结及致谢

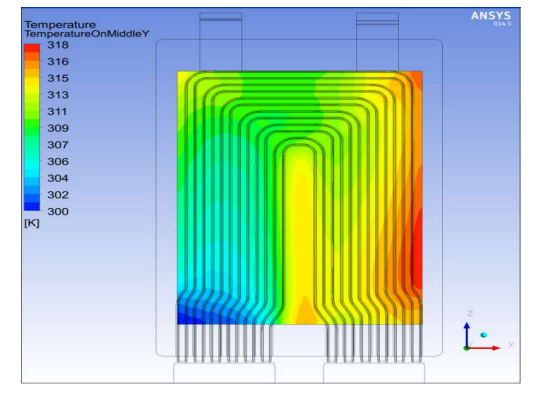


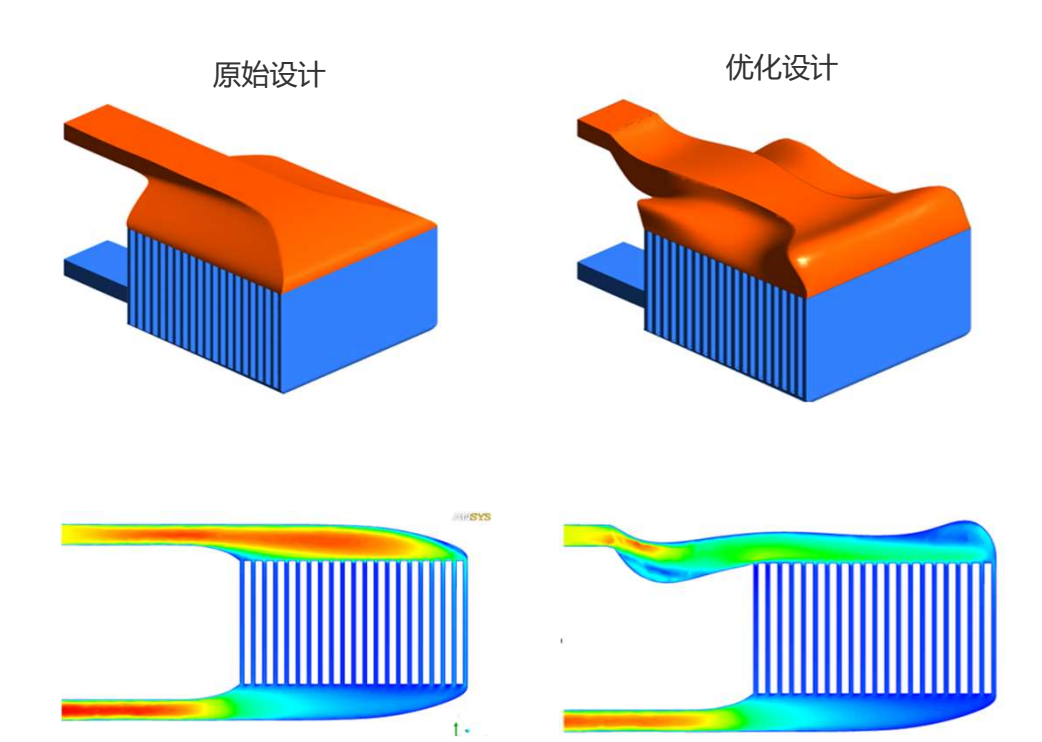
## 基于CFD的电池热管理:单元级/Module/Pack的CHT分析







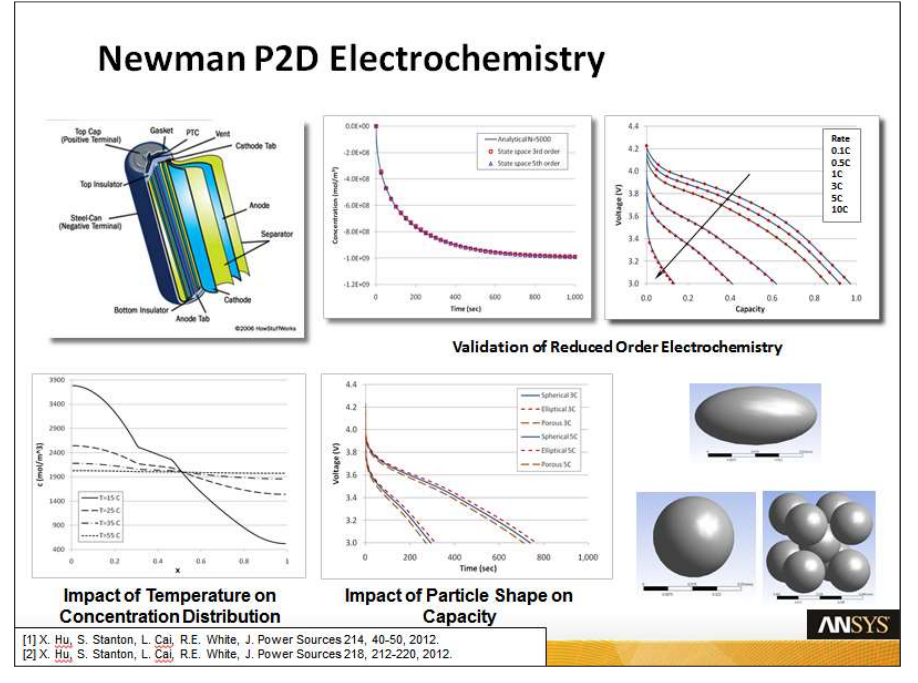


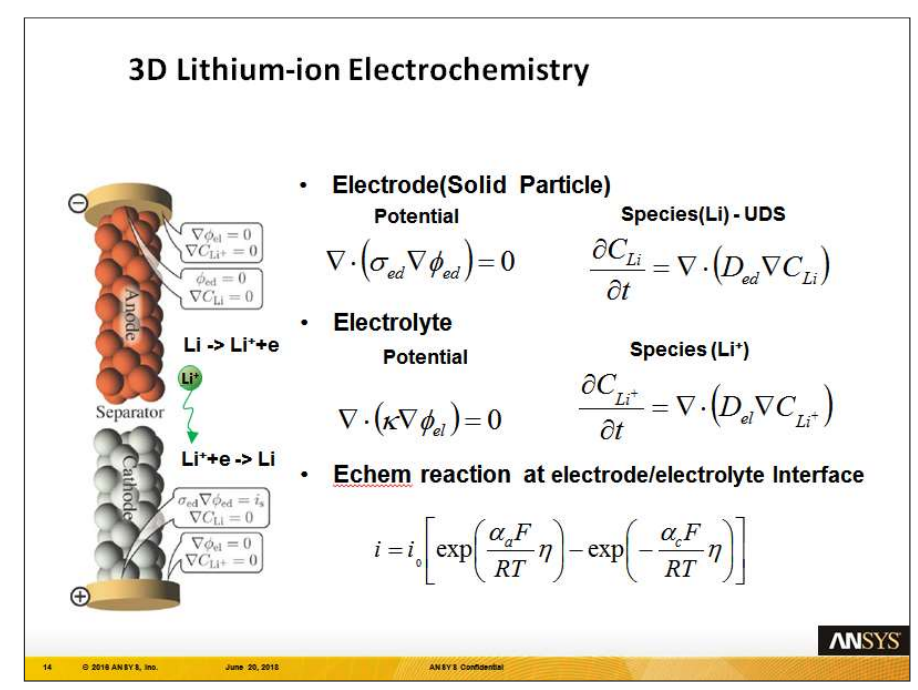




### 电化学模型简介

Electrochemical Systems





#### Potential and Current Distribution in Electrochemical Cells

Interpretation of the Half-Cell Voltage Measurements as a Function of Reference-Electrode Location

John Newman\*, and William Tiedemann\*

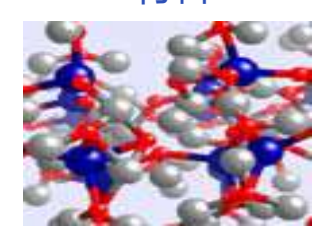
Johnson Controls Battery Group, Incorporated, Milwaukee, Wisconsin 53201



### 多尺度多维度方法 (MSMD)

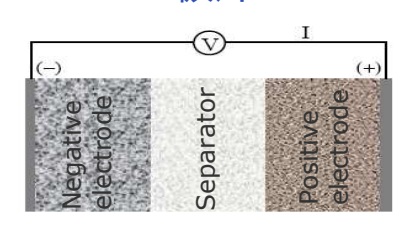
应对Li+ 电池仿真的挑战:

材料



1.0-9~10-8

极片



 $10^{-6} \sim 10^{-4}$ 

单体,包



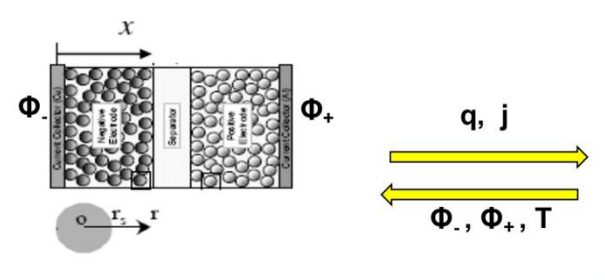


 $10^{-2} \sim 10^{0}$ 

- 多尺度多维度(Multi-Scale Multi-Dimensional) 方法
  - 专注于单体电池及以上尺度级别(不用于电极结构);
  - 不同的物理域使用不同的网格
  - 每一个有限体积的单元都视为一个迷你电池

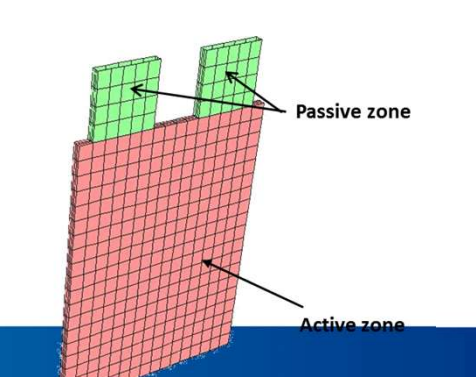
在每个网格上调用子模型(如下) input:  $\Phi_{-}$ ,  $\Phi_{+}$ , T,  $C_{s}$  (X, x, r,  $t_{0}$ ),  $C_{e}$  (X, x,  $t_{0}$ ) output: j, q, C<sub>s</sub>, C<sub>e</sub>

- P2D 子模型
- NTGK子模型
- ECM子模型



Electrode scale sub-model

Copyright (C) IDAJ Co., LTD. All Rights(NESK for example)

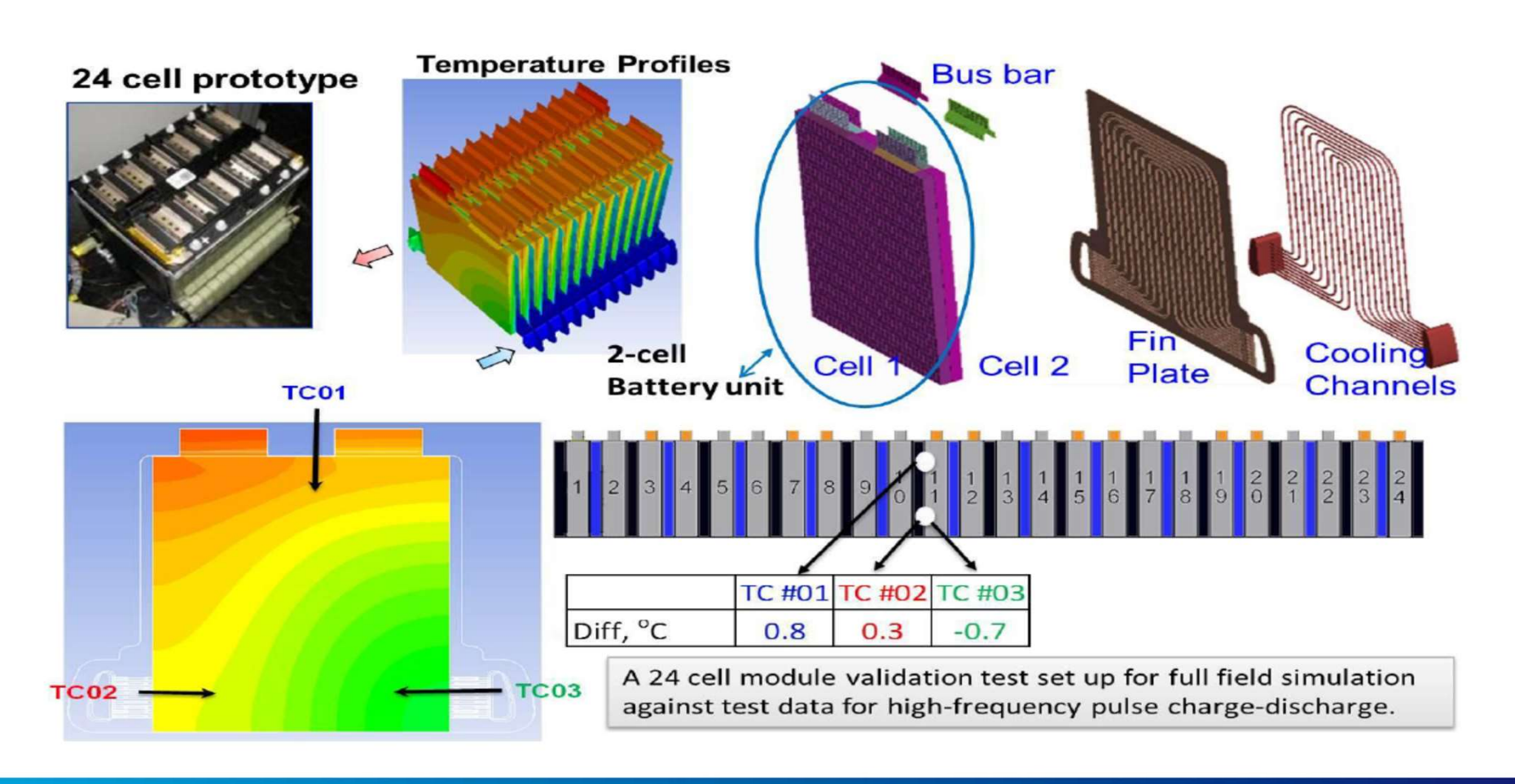


CFD网格: 不需要求解电极层 model: 各向异性电导率

solve: Φ<sub>.</sub>, Φ<sub>+</sub>, T



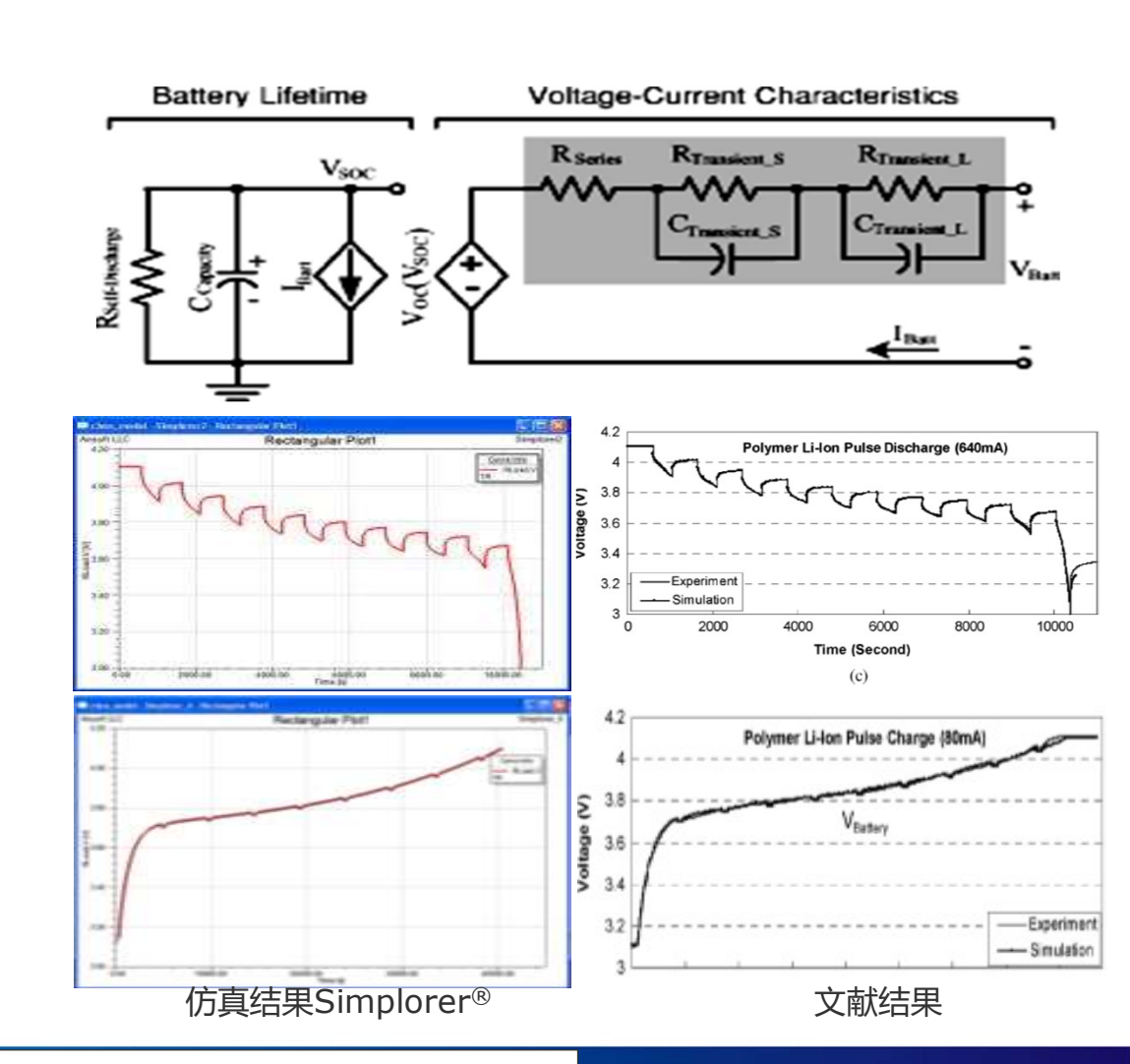
### 多尺度多维度方法 (MSMD): GM电池模块仿真案例





### 单电池等效电路模型(ECM)

- 可使用HPPC实验数据
  - 使用Fluent的Parameter Estimation Tool拟合模型参数
  - 或Simplorer的ECM抽取工具包
- 考虑非线性开路电压
- 可以预测工作时间
  - 误差小于 0.4%
- 可以预测瞬态I-V特性(发热特征)
  - 误差小于30-mV
- 很容易应用在电路仿真中
  - 在Simplorer® 中



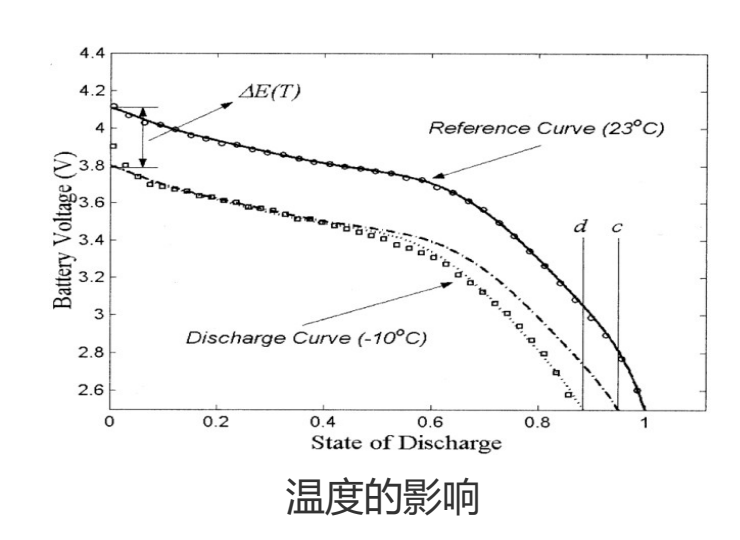


## 单电池等效电路模型(ECM)

#### 温度相关的ECM

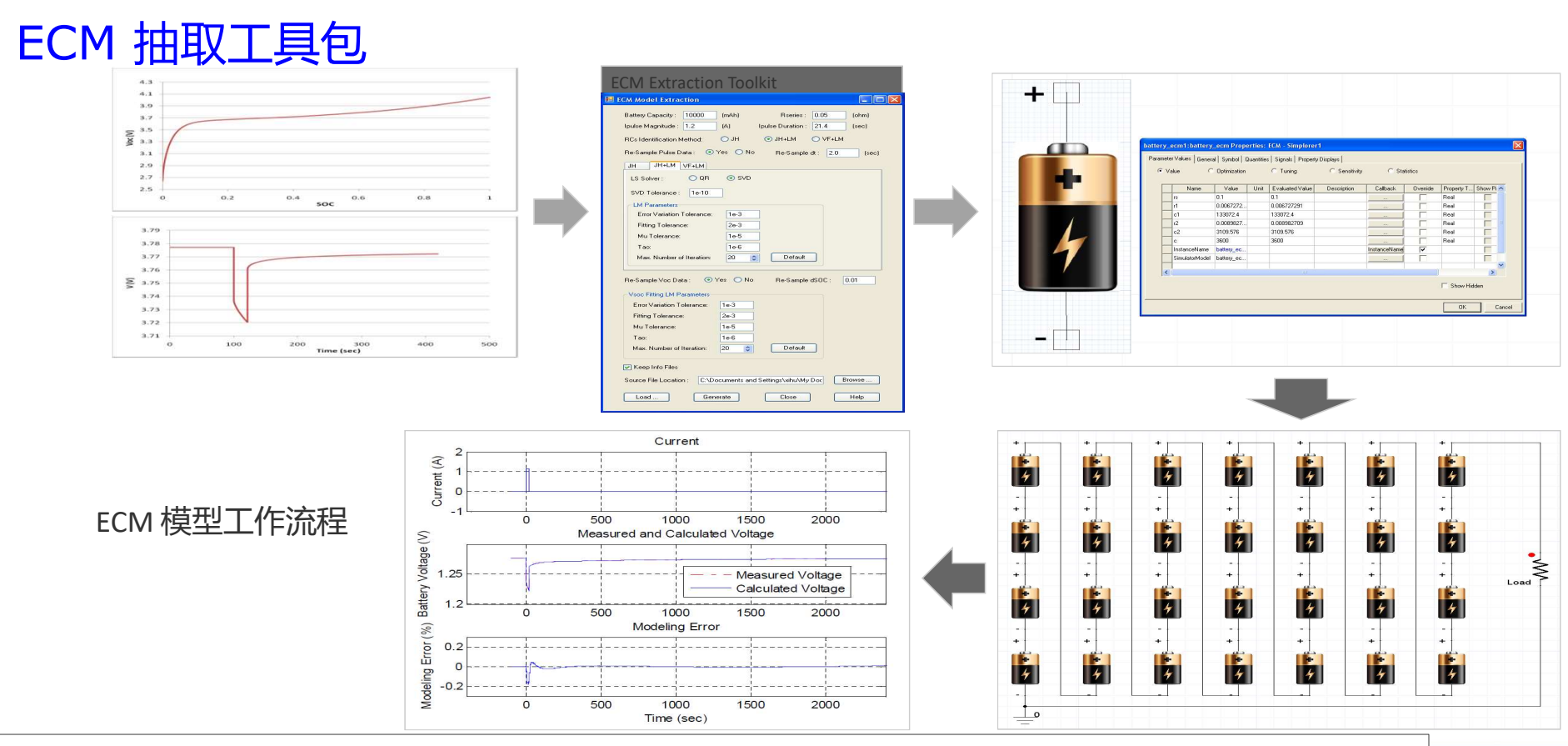
- Chen模型可以在定常温度下工作
- 温度影响非常重要,需要考虑
- Gao修订了Chen的模型,修改放电过程受温度系数(β) 控制,从而实现对温度敏感

$$SOC = 1 - \frac{1}{Q} \int_0^t \beta \left[ T(t) \right] \cdot i(t) dt$$





### 单电池等效电路模型(ECM)



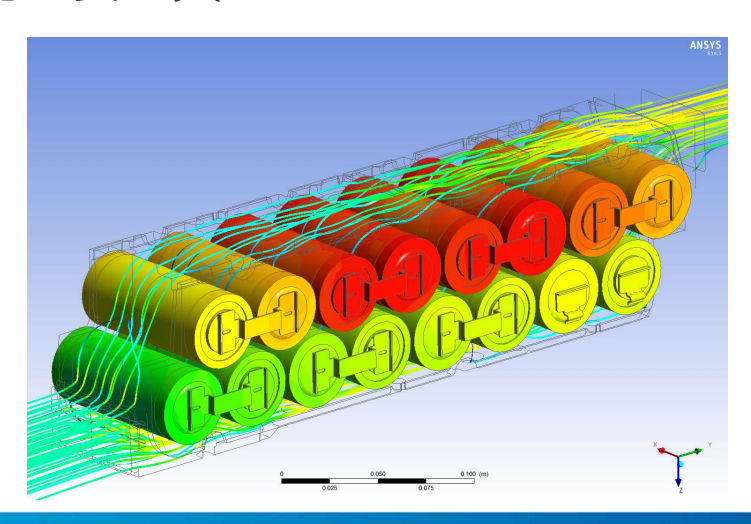
X. Hu, L. Collins, S. Stanton, S. Jiang, "A Model Parameter Identification Method for Battery Applications", SAE 2013-01-1529.

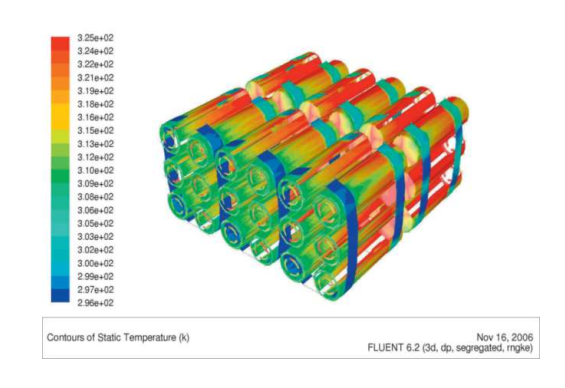


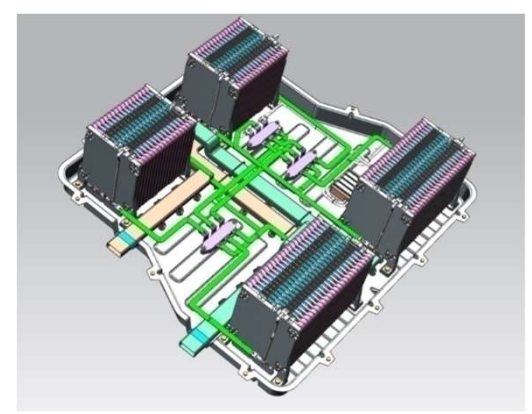
## 使用降阶模型(ROM)的电池热管理

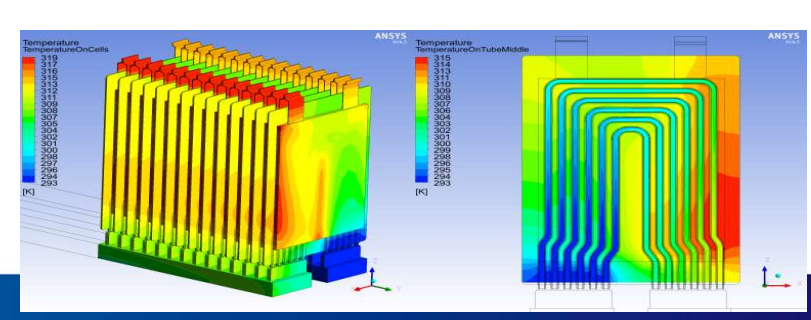
#### 降阶模型(Reduced Order Model)的好处

- 作为一种通用的热分析方法,CFD是准确的,但对大规模系统级瞬态分析来说计算周期太长
- ROM可以显著降低模型规模和模拟时间,是系统级模拟的重要工具.











### 使用降阶模型(ROM)的电池热管理

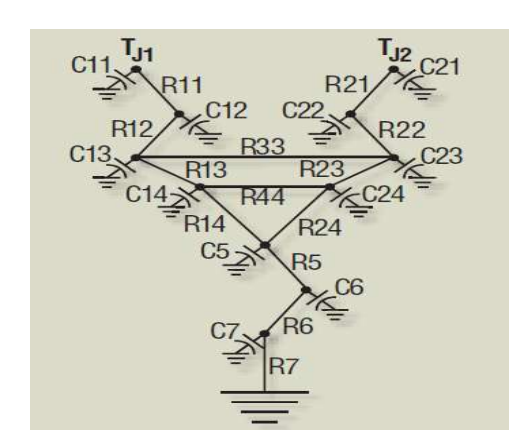
#### 什么是降阶模型(ROM)?

■ ROMs是一种紧凑模型 (低阶),是由计算机生成的高保真(3D)模型的数值表达,用于保留模型的基本行为和主导效应。任何紧凑模型一般都可以被宽泛地称为ROM.

请注意: ROM具有设计相关性, 必须针对每个设计单独生成。

#### 两种电池热管理模型

- 第一种: 热网络模型
  - 需要仔细计算和校准
  - 精度一般
  - 定义上不是ROM,而是紧凑模型
- 第二种: 降阶模型 (ROM)
  - 可以和CFD一样准确
  - 无需校准 (电容电阻值)



热网络模型

#### ROMs 可用于

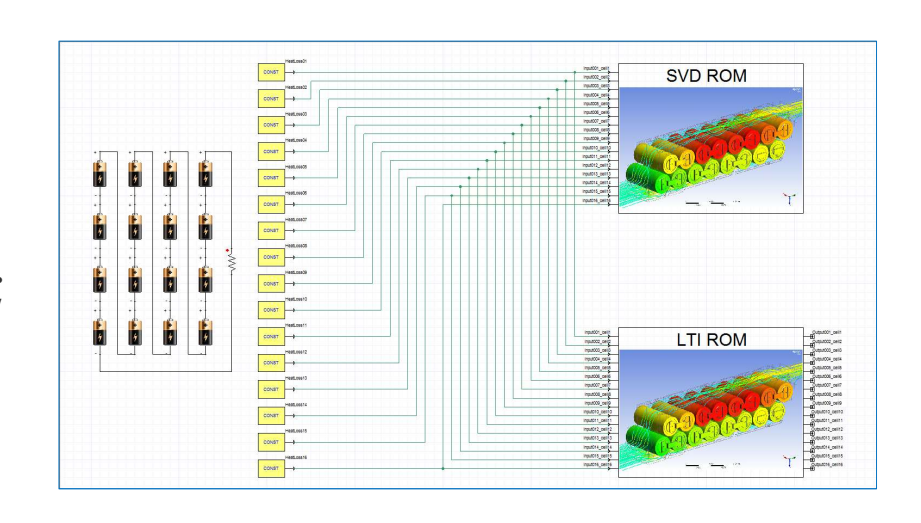
- 大幅加速3D仿真 (ROM for 3D)
- 用于执行高效的系统模拟 (ROM for Systems)
- 支持非传统用户探索设计空间 (ROM for simulation democratization)
- 作为控制系统设计和验证的physical plant model并提高其精度(ROM for controls design, ROMs "inside" controls)



#### 耦合ECM与ROM的电池系统仿真

#### ROMs/ECM 交互:

- ECM计算出电池动态I-V特性
- ECM计算热源,并将热源提供给两个ROM模型;
- LTI ROM计算各电池平均温度,并将其传入ECM中;
- SVD ROM计算各电池温度分布:
  - 温度场需要在Fluent的后处理中显示.

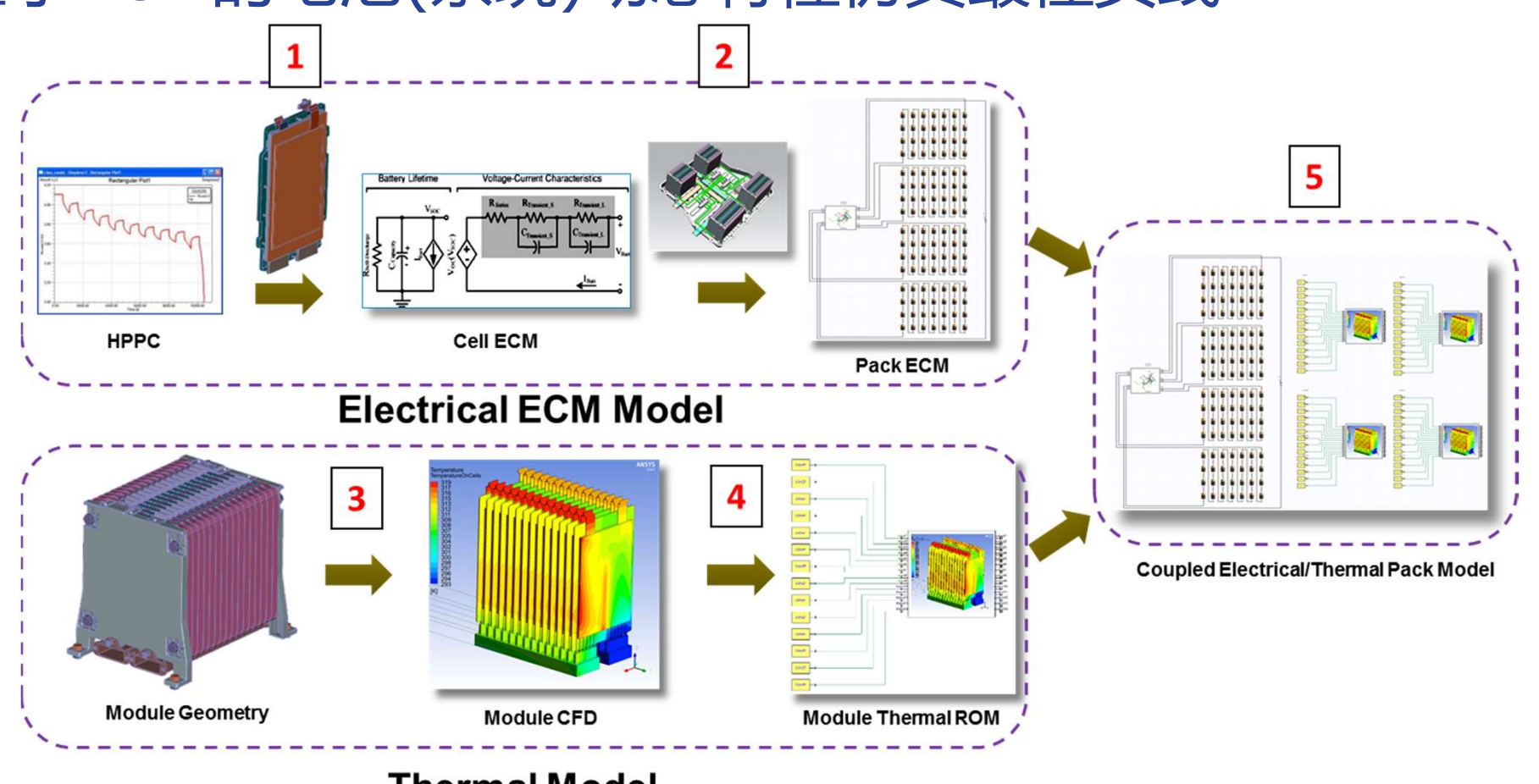


GM电池模拟案例

# 目录

- 1. 综述
- 2. ANSYS电池仿真方案介绍
- 3. 基于ECM的电池(系统)动态特性仿真最佳实践
- 4. 小结及致谢

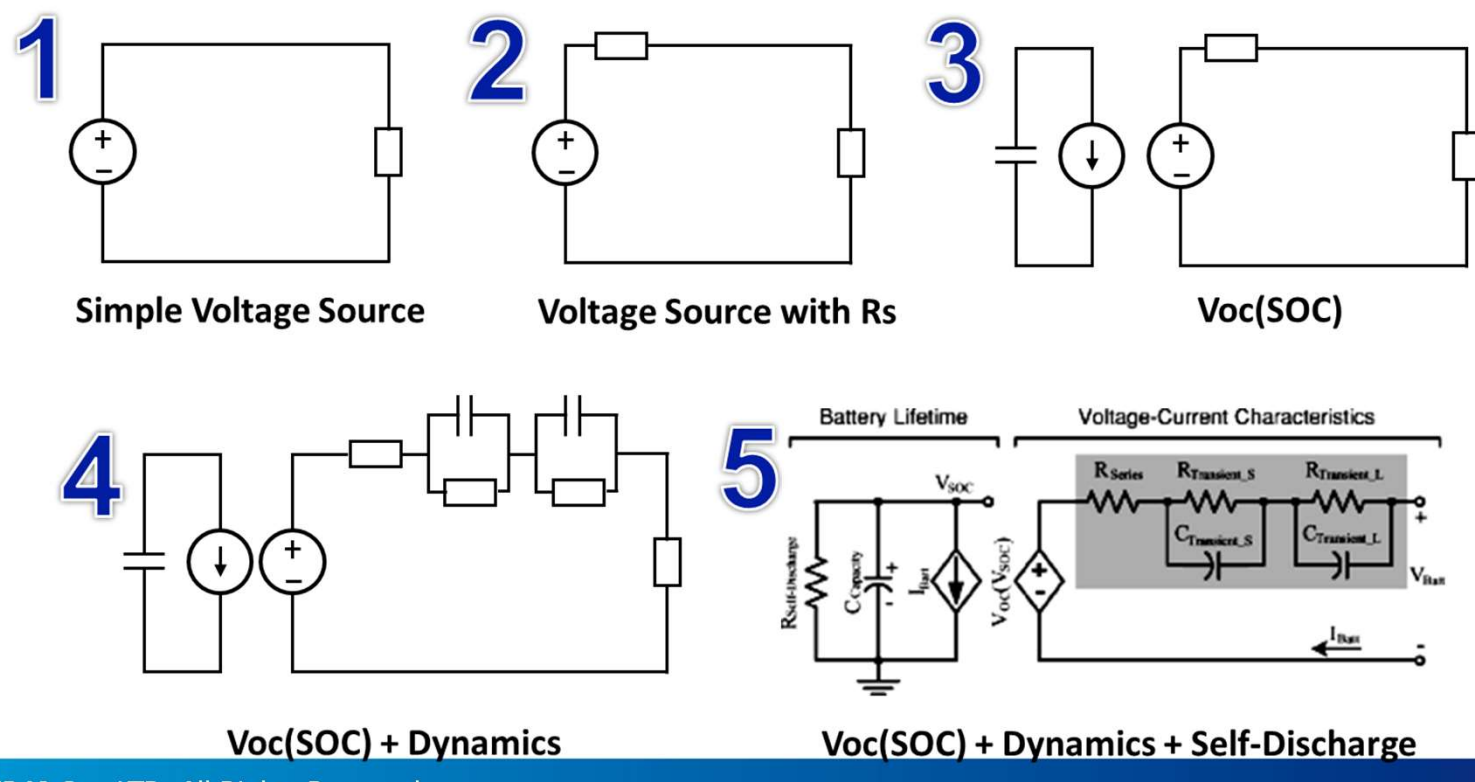




**Thermal Model** 



Step 1: 单电池级ECM的搭建(原理)

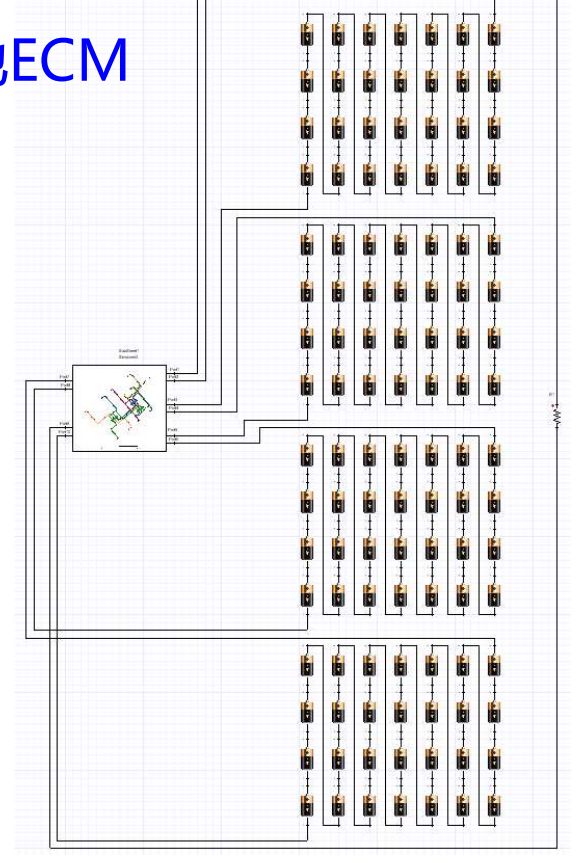


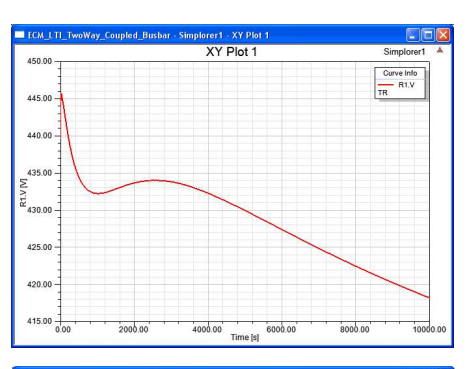


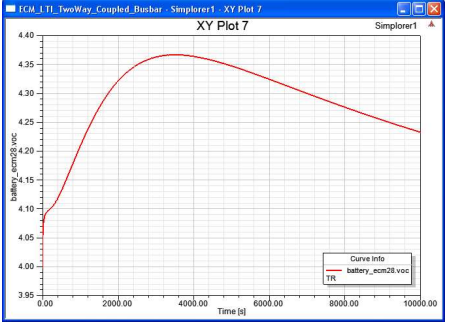
Step 2: Module/Pack级别的电池ECM



- 电池模块包含了28个电池单体
- 最终仿真的电池系统包含了4个 模块





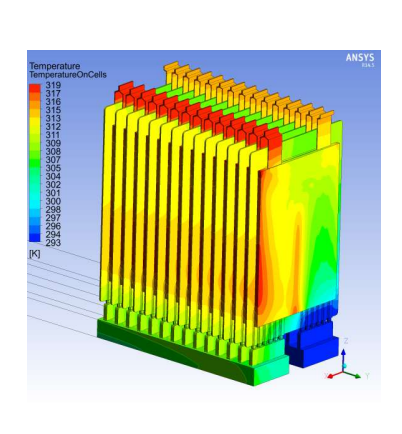


仿真结果

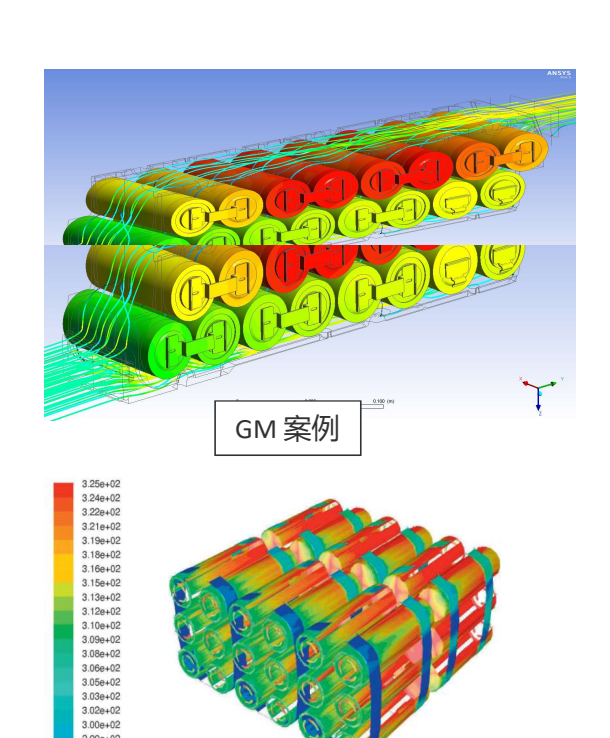


Contours of Static Temperature

#### Step 3: 通过CFD进行共轭传热计算(给定冷却方式下)

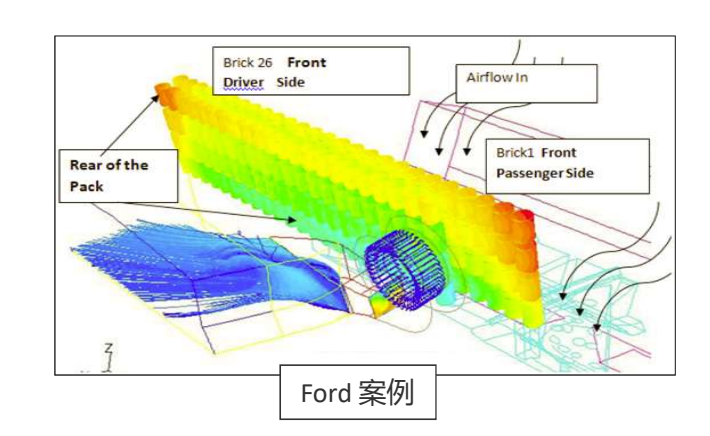


ANSYS 案例



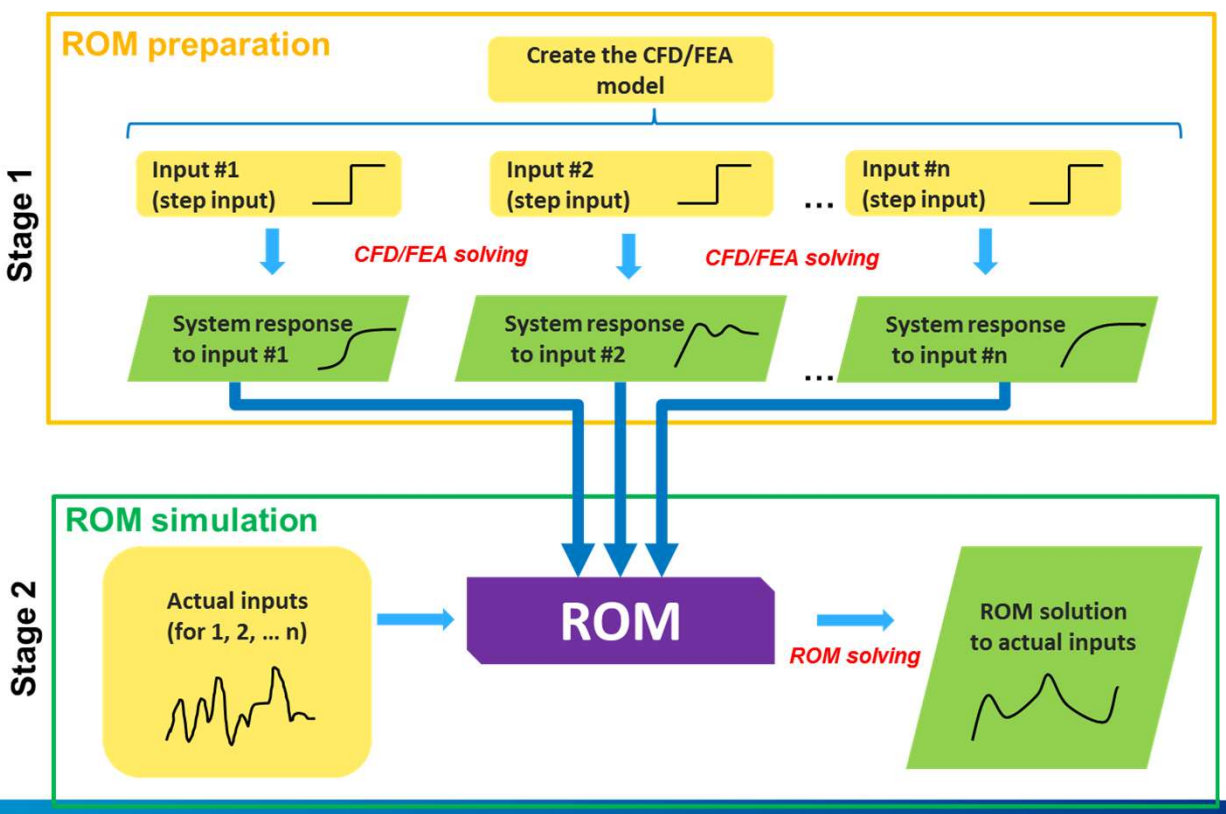
Magna 案例

Nov 16, 2006 FLUENT 6.2 (3d, dp, segregated, rngke)



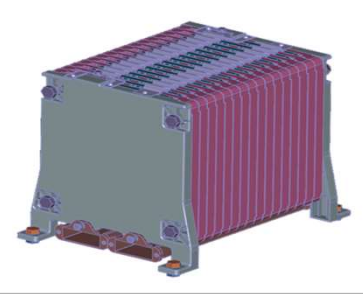


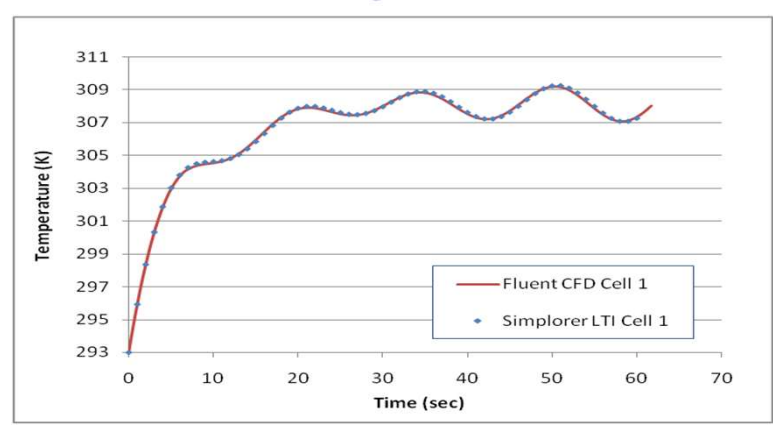
Step 4-1: 创建降阶模型流程



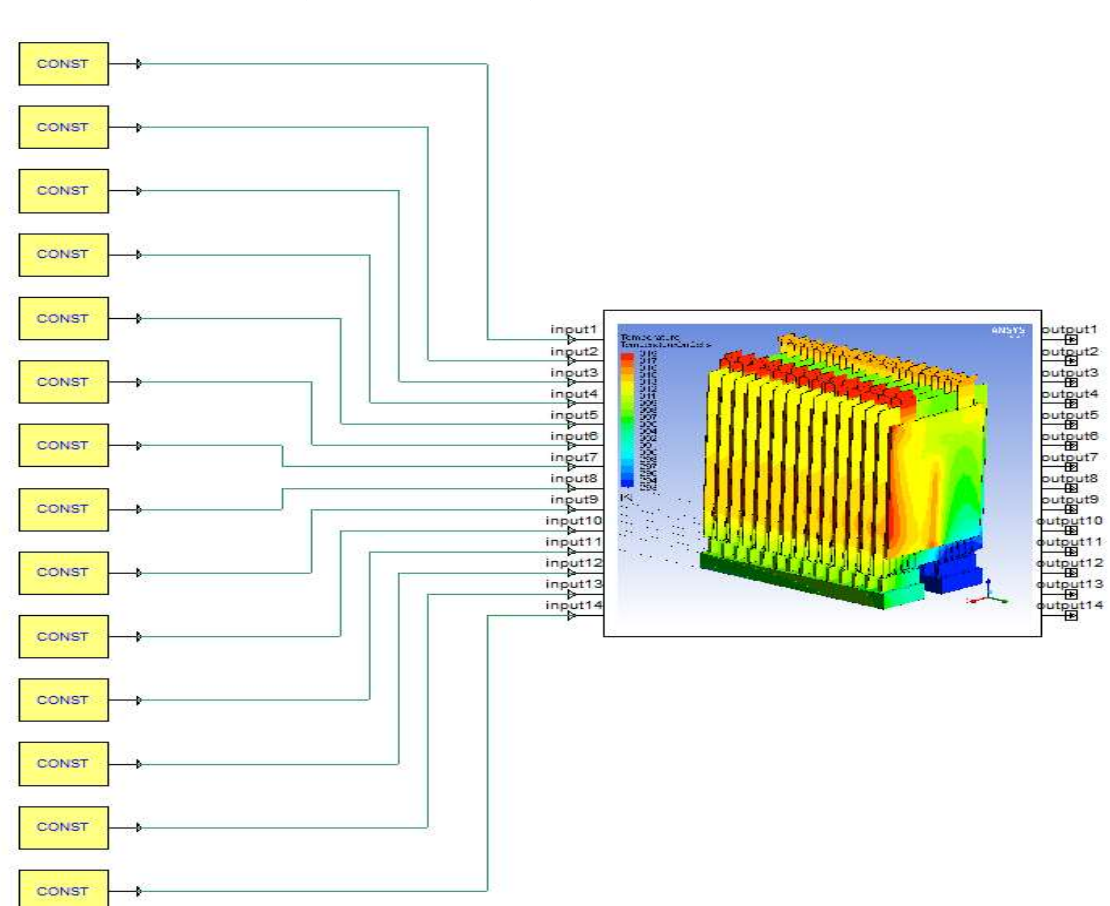


#### Step 4-2: 降阶模型结果分析



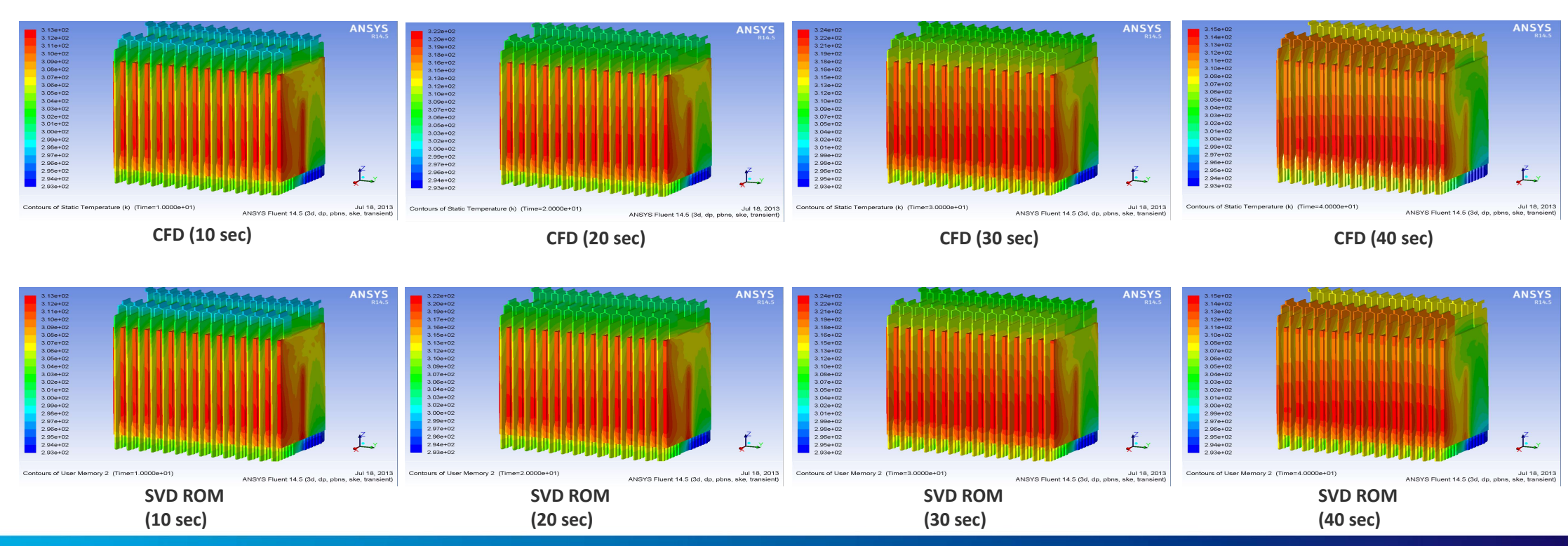


**ROM vs CFD** 





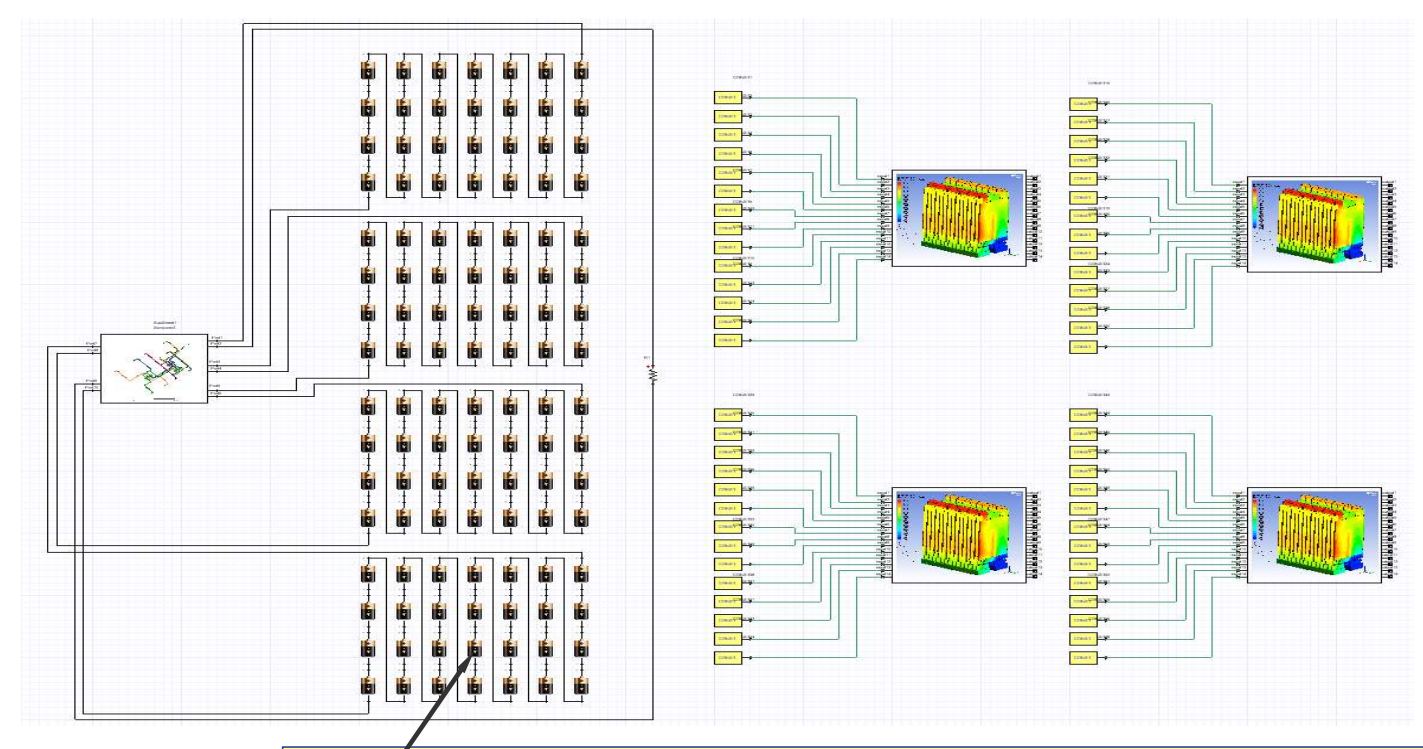
#### Step 4-2: 降阶模型结果分析(续)



Copyright (C) IDAJ Co., LTD. All Rights Reserved.



#### Step 5: ECM和ROMs耦合分析

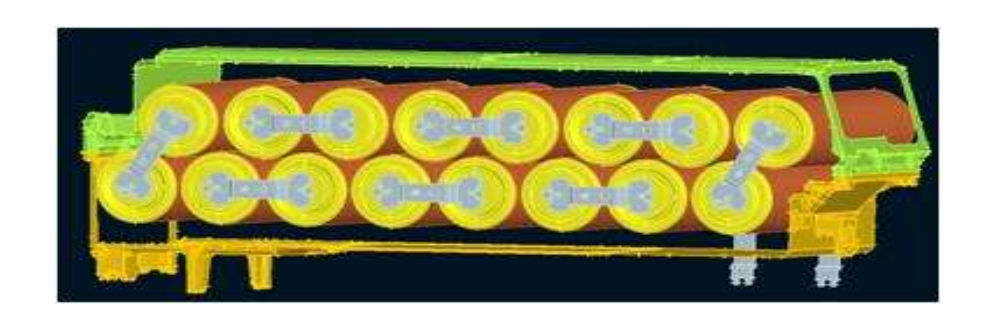


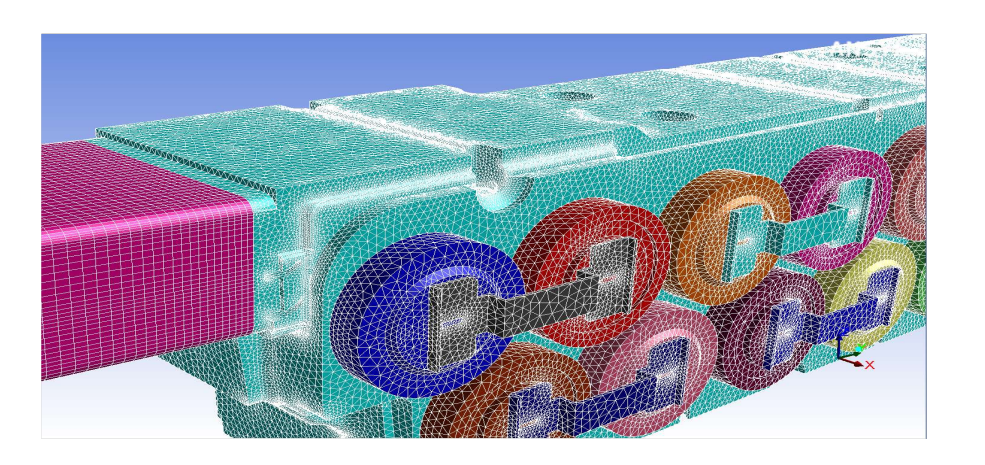
 $\label{eq:voc} Voc = -1.031*exp(-35*(abs(IBatt.V/Vinit))) + 3.685 + 0.2156*(abs(IBatt.V/Vinit)) - 0.1178*(abs(IBatt.V/Vinit))^2 + 0.3201*(abs(IBatt.V/Vinit))^3 + 0.3/30.0*(U1.Temp_block_1-273)$ 



#### 成功案例-GM电池

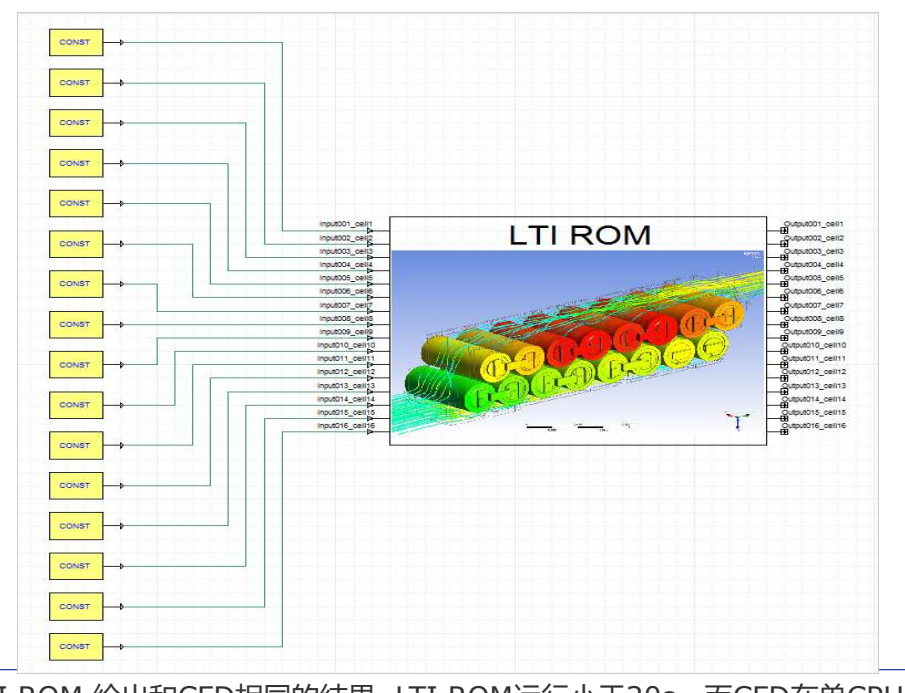
- 模块由16个电池单体组成.
- CFD模型
  - ●混合网格,网格数量3百万.



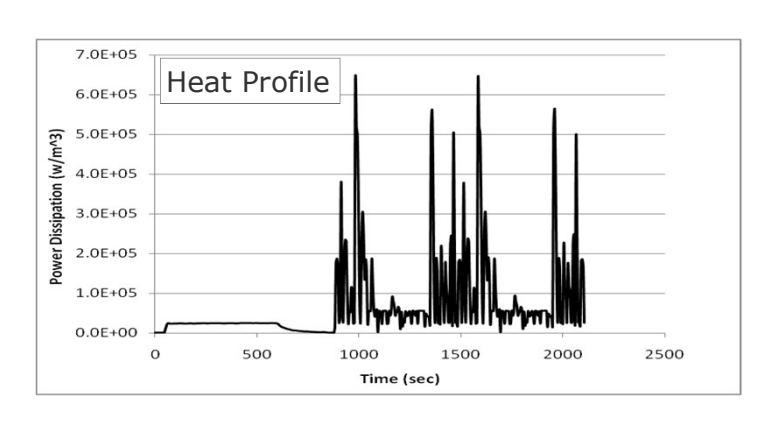


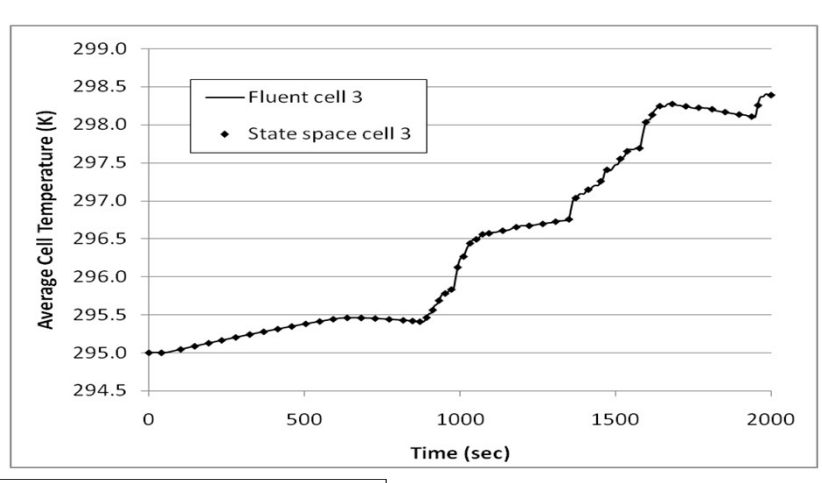


#### 成功案例- ROM模型



LTI ROM 给出和CFD相同的结果. LTI ROM运行小于20s,而CFD在单CPU上运行2 小时.

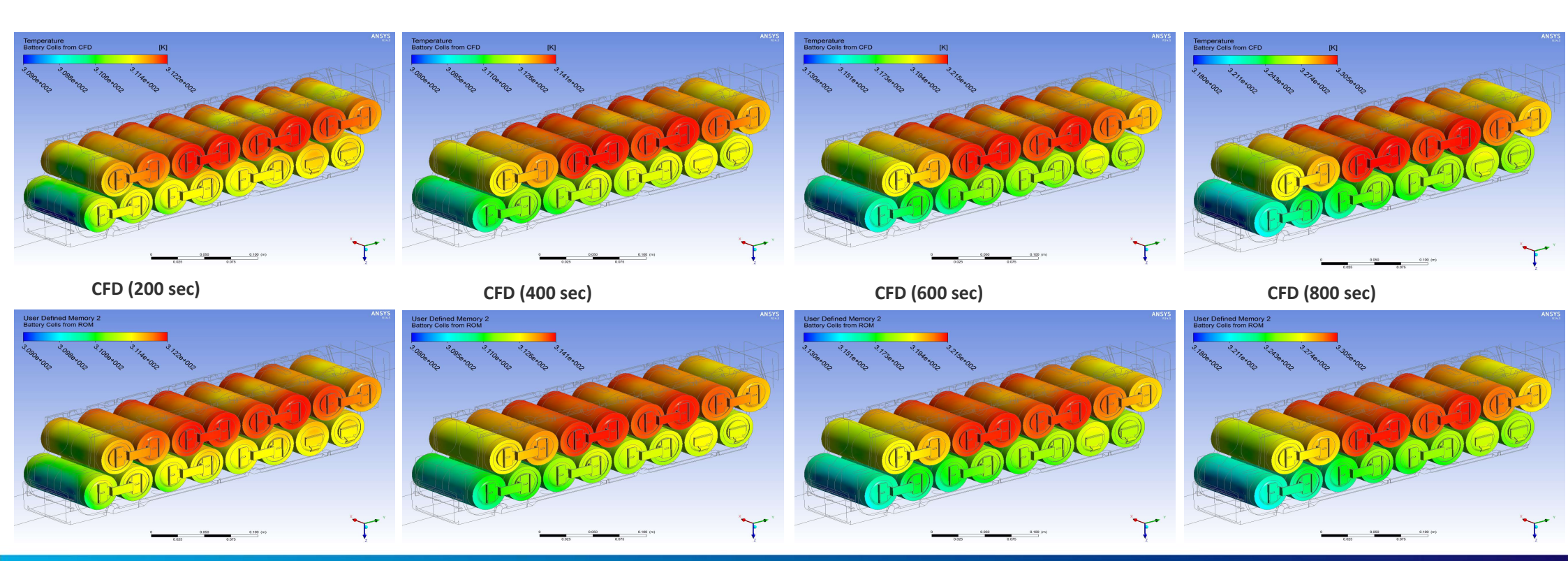




X. Hu, S. Lin, S. Stanton, W. Lian, "A Foster Network Thermal Model for HEV/EV Battery Modeling," IEEE TRANSACTIONS ON INDUSTRY APPLICATIONS, VOL. 47, NO. 4, JULY/AUGUST 2011
X. Hu, S. Lin, S. Stanton, W. Lian, "A State Space Thermal Model for HEV/EV Battery Modeling", SAE 2011-01-1364



#### 成功案例-ROM结果验证



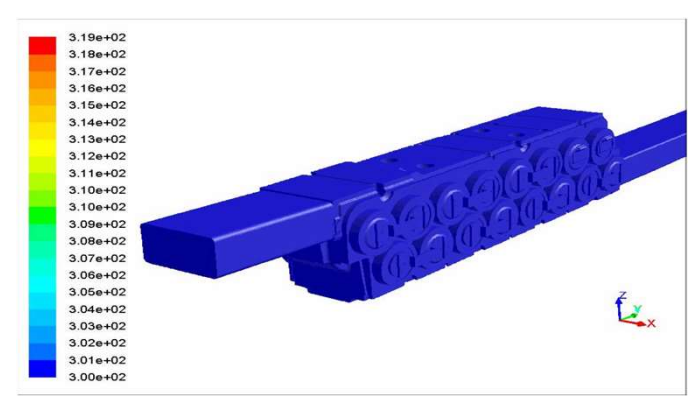
SVD ROM
CONVERBIT (C) IDA1 Co. ITD. All Rights Reserved

SVD ROM

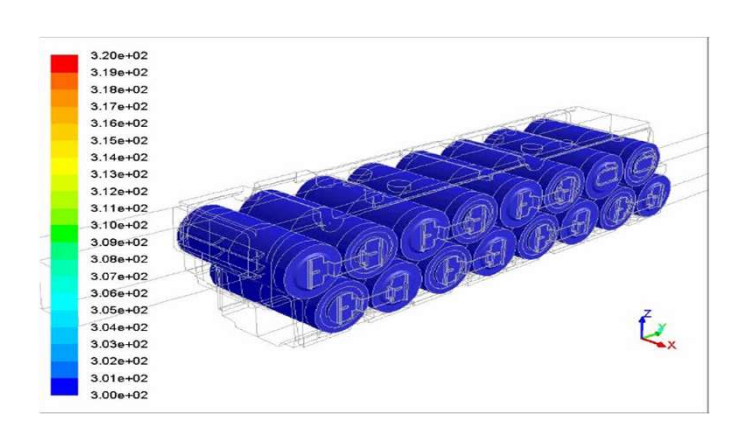
SVD ROI

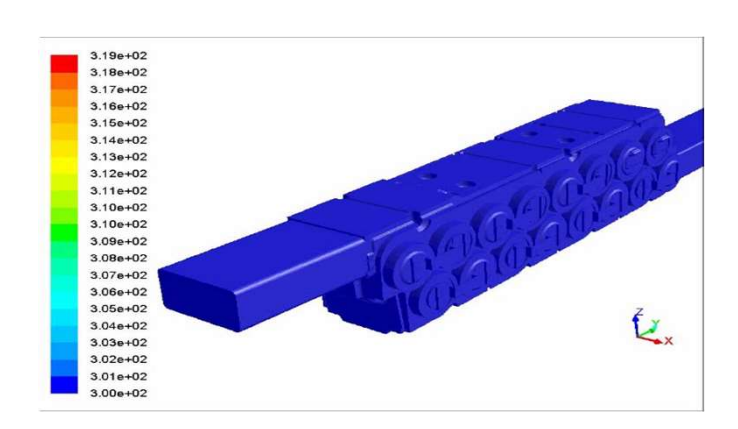


#### 成功案例- 计算结果

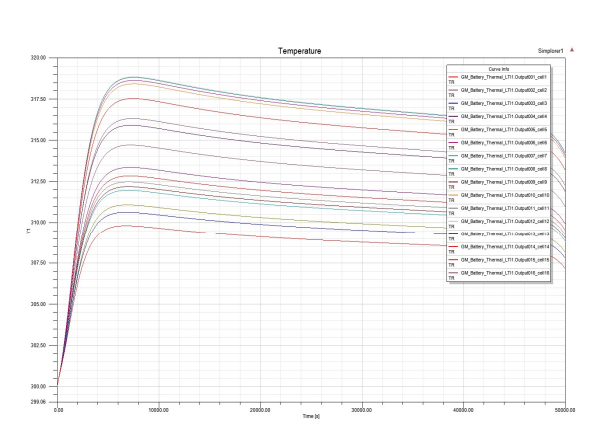


CFD计算的温度结果. 仿真时间7 小时,使用6个CPU.

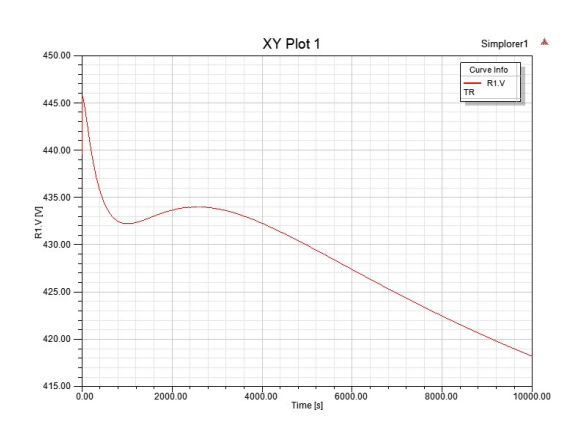




SVD ROM计算的温度结果. 仿真时间0.5 小时,使用1个CPU.



平均 Cell 温度



电池电压随时间变化曲线

# 目录

- 1. 综述
- 2. ANSYS电池仿真方案介绍
- 3. 基于ECM的电池(系统)动态特性仿真最佳实践
- 4. 小结及致谢



#### 小结及致谢

#### 小结

■ 基于等效电路模型 (ECM) 的电池动态性能分析方法是一种快速、准确且高效的综合解决方案,充分体现了ANSYS产品在新能源车领域强大的仿真能力, IDAJ在汽车行业深耕多年,将与ANSYS携手为您提供高水平的专业仿真软件和一流的技术服务,期待与您的进一步合作。

#### 致谢

■ 感谢ANSYS中国井文明、马世虎, ANSYS北美胡晓博士提供案例资料。



# 感谢倾听 期待与您的进一步合作 ②



扫一扫关注官方微信 获得第一手巡展报告下载资讯

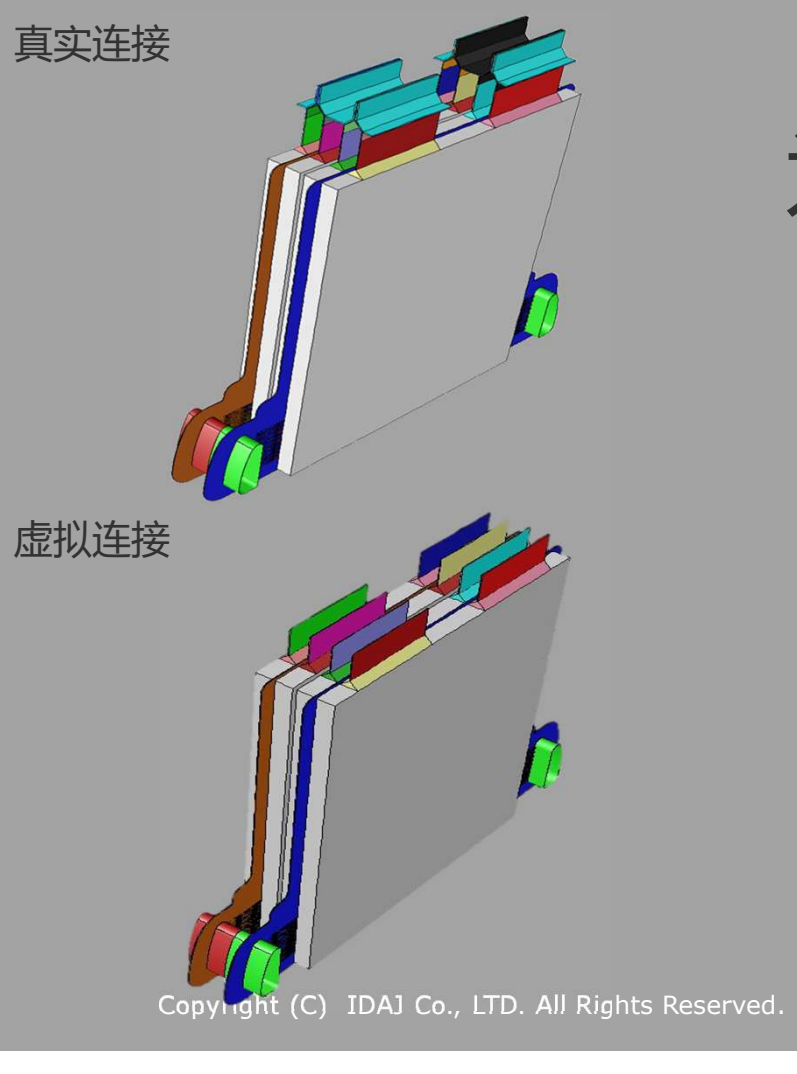
#### 联系我们

- web: https://www.idaj.cn/
- e-mail: <u>support@idaj.cn</u>
- Tel: 021-50588290; 010-65881497

### 附录1: 特别专题

- 虚拟连接 (Virtual connection)
- 电负载输入 (Electric load profile)
- 参数估计工具 (Parameter estimation tool)
- 热滥用模型 (Thermal abuse models)
  - 内部短路模型 (Internal short circuit model)
  - 热滥用模型 (Thermal abuse models)
- Fluent的降阶模型 (ROM)
- 独立的Echem 模型<sup>β</sup> (Standalone Echem Model<sup>β</sup>)

# 虚拟连接



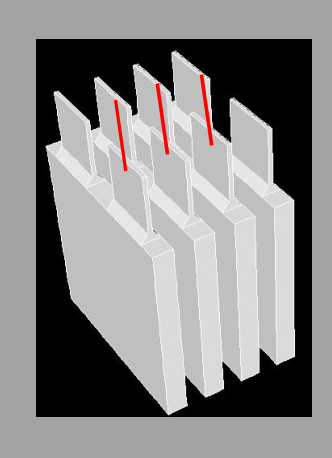
# 为什么需要虚拟连接?

- 直接通过真实几何/网格实现。电流会自动从负极流到正极。母排上的焦耳热同时获得求解
- 但母排通常非常薄,这会对网格的产生造成一 定程度的困难.
  - 虚拟连接可以解决上述问题
- □ 数值上,虚拟连接也要比真实连接更稳定

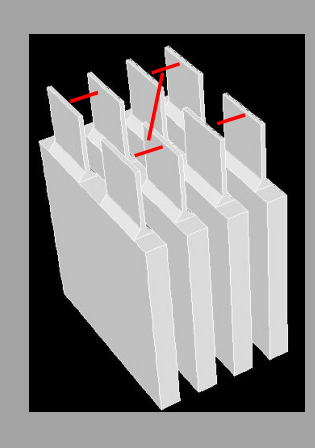
• 文件格式:串联一级中的并联电池数量 (mP) , 串联级数 (nS) , 后面跟着每个电池负极片和正极片的名称, 顺序为1P1S ... 1PnS到mP1S ... mPnS

#### 虚拟连接文件格式

```
mp 1
nS 4
tab_N_1 tab_P_1
tab_N_2 tab_P_2
tab_N_3 tab_P_3
tab_N_4 tab_P_4
```



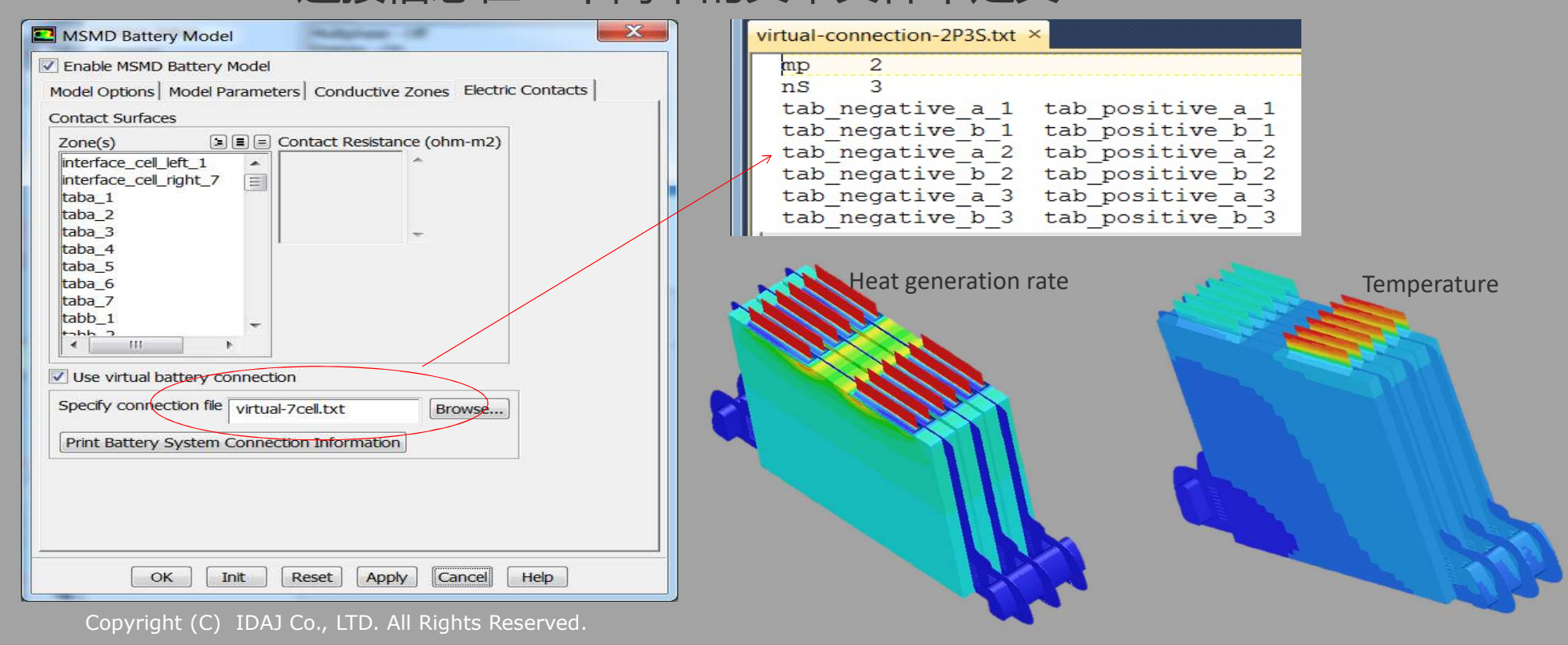
```
mp 2
nS 2
tab_N_1 tab_P_1
tab_N_2 tab_P_2
tab_N_3 tab_P_3
tab_N 4 tab_P_4
```



- 通过电池标签和mP和nS值的顺序定义电池连接.
  - 求解器会找出哪个导电区属于哪个电池.
  - 求解器将通过虚拟连接处理每个单独电池的边界条件.

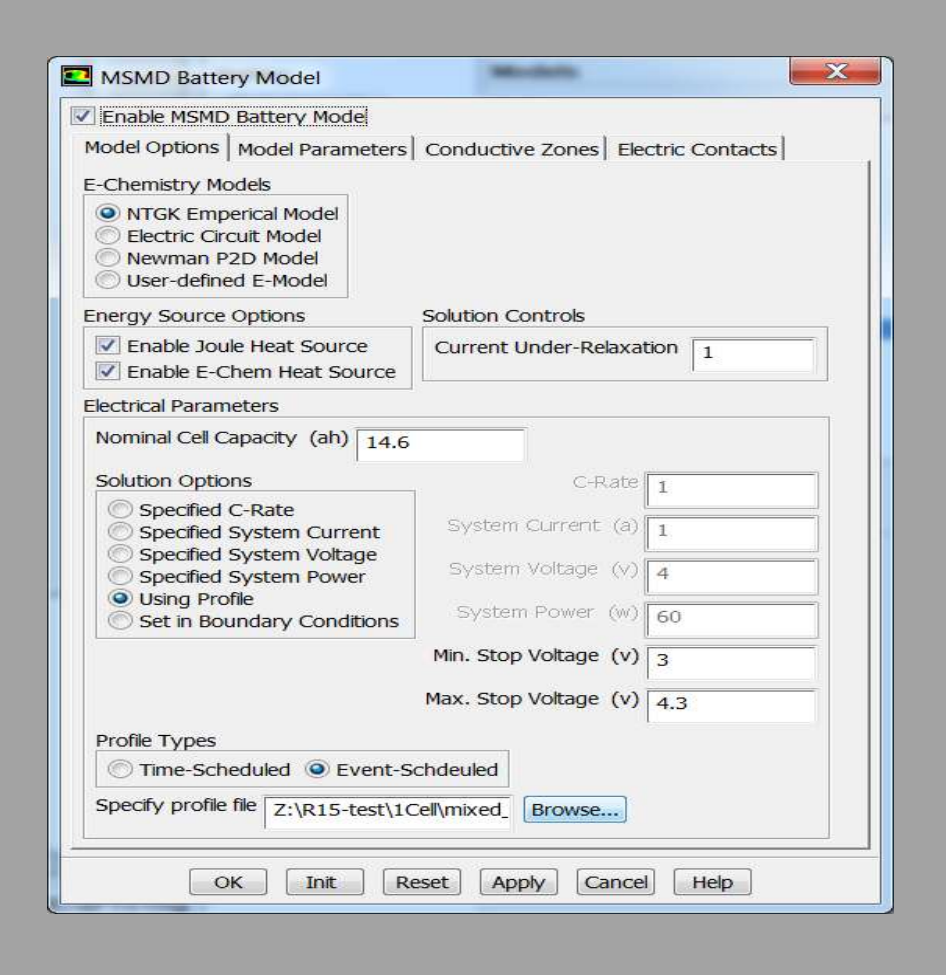
# 案例 - GM's quarter model (液冷, 2P3S)

- □ 就像真实连接一样, 用户提供最少的信息。求解器尝试做最多的工作 □ II
  - ●连接信息在一个简单的文本文件中定义



## ■电负载输入

### Electric Load Profiles



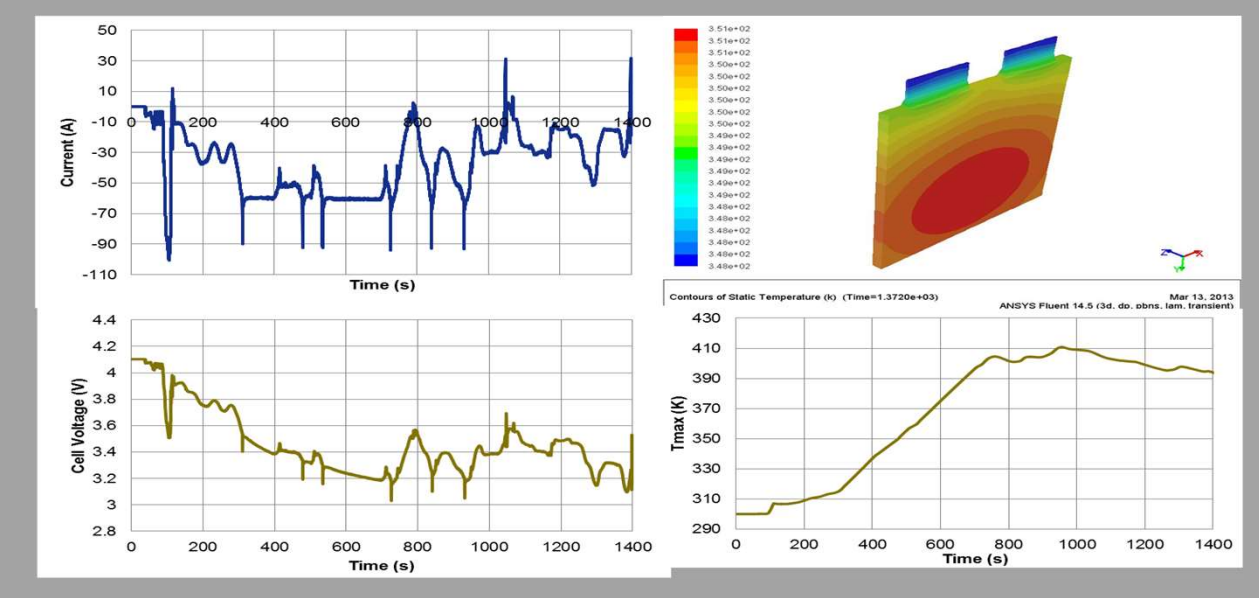
- •FLUENT中可以执行两种格式的profile文件:
  - -基于时间的Profile
  - -基于事件的Profile
- •两种方法均支持在模拟过程中改变负载类型和 数值

Copyright (C) IDAJ Co., LTD. All Rights Reserved.

### 案例

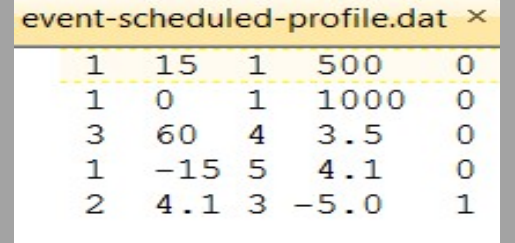
#### time-scheduled-profile.dat × 0 0 19 0 20 0 21 36.076500 22 35.5065 23 57.531 24 70.2525 25 79.3665 26 87.7215 27 23.9235 28 34.9365 29 104.43 30 49.3665 31 39.873 32 17 2785

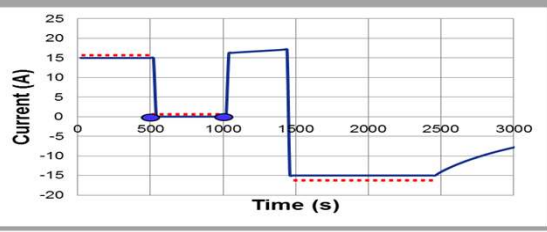
#### USO6循环试验

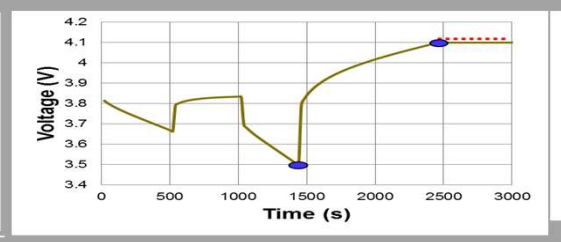


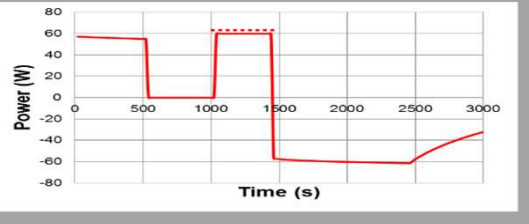
#### ...

基于事件的profile案例











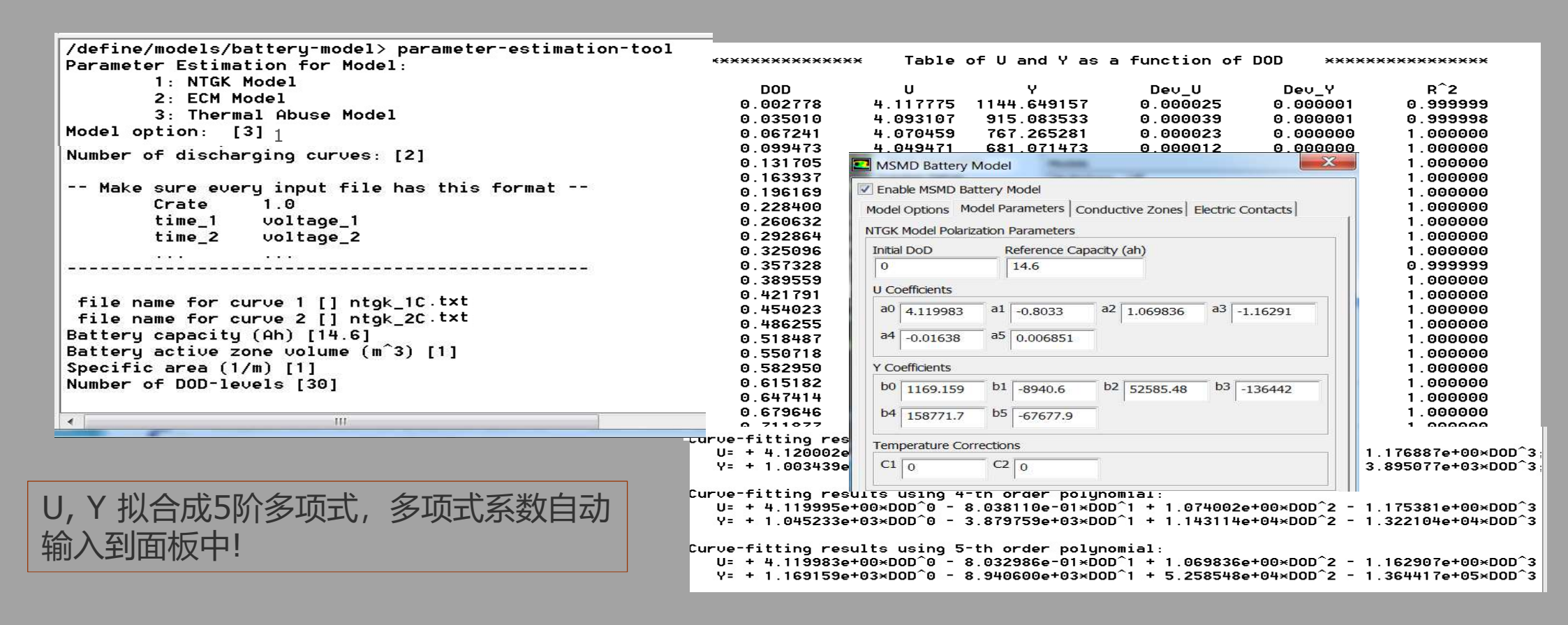
## 参数估计工具

NTGK, ECM和热滥用模型中的模型参数是电池专用的。 用户需要在模拟之前对来自测试数据的那些参数进行曲线拟合。

### 所需的测试数据

- NTGK:以不同的C率放电曲线
- ECM:不同SOC水平下脉冲电流下的电压响应曲线 (HPPC测试数据)
- 热滥用模型: Oven test data (temperature ~ time)
- 该工具在FLUENT的文本用户界面(TUI)中可用
  define/model/battery-model/parameter-estimationtool

## NTGK模型的拟合工具



## ECM模型的拟合工具

```
/define/models/battery-model> parameter-estimation-tool
                                                                                     MSMD Battery Model
Parameter Estimation for Model:
                                                                                      Enable MSMD Battery Model
        1: NTGK Model
        2: ECM Model
        3: Thermal Abuse Model
Model option: [312
Number of different SOC-level curves: [1] 9
-- Make sure every input file has this format --
       SOC
                 0.6
       I
                  3.153
                  voltage_1
       time_1
       time_2
                  voltage_2
                                                               Uoc. Rs. R1, C1, R2,
  where SOC: soc level
                                                               Voc
            current
                                                               IOe+00 2.296226e-02 8.5
                                                               10e+00 2.277196e-02 7.3
file name for curve 1 [] ecm-soc01.txt
                                                               10e+00 2.251824e-02 6.1
file name for curve 2 [] ecm-soc02.txt
                                                               10e+00 2.226451e-02 4.4
file name for curve 3 [] ecm-soc03.txt
                                                               10e+00 2.220108e-02 3.4
                                                               10e+00 2.220108e-02 3.4
file name for curve 4 [] ecm-soc04.txt
                                                               10e+00 2.197907e-02 2.7
file name for curve 5 [] ecm-soc05.txt
                                                               10e+00 2.191564e-02 2.4
file name for curve 6 [] ecm-soc05.txt
                                                               10e+00 2.169363e-02 2.1
```

/define/models/battery-model>

所有6个模型参数都拟合为 5阶多项式,多项式系数自 动输入到面板中

```
Using different coefficients for charging and discharging
                                                                                                                                                                                                                                                                                                                      Discharging parameters
                                                                                                                                                                                                                                                                                                                             Rs Coefficients
                                                                                                                                                                                                                                                                                                                                 rs0 0.022836
                                                                                                                                                                                                                                                                                                                                                                                                                                   rs1 0.0042393
                                                                                                                                                                                                                                                                                                                                                                                                                                                                                                                                     rs2 -0.03816
                                                                                                                                                                                                                                                                                                                                                                                                                                                                                                                                                                                                                                                               =
                                                                                                                                                                                                                                                                                                                                  rs3 0.0951994
                                                                                                                                                                                                                                                                                                                                                                                                                                   rs4 -0.102394
                                                                                                                                                                                                                                                                                                                                                                                                                                                                                                                                     rs5 0.0399531
                                                                                                                                                                                                                                                                                                                                                                                                                                                                                                                                                                                                                                                                                                       rror
                                                                                                                                                                                                                                                                                                                                                                                                                                                                                                                                                                                                                                                                                                        -02 (D)
                                                                                                                                                                                                                                                                                                                                                                                                                                                                                                                                                                                                                                                                                                        -02 (D)
                                                                                                                                                                                                                                                                                                                             R1 Coefficients
                                                                                                                                                                                                                                                                                                                                                                                                                                                                                                                                                                                                                                                                                                        -02 (D)
                                                                                                                                                                                                                                                                                                                                                                                                                                                                                                                                                                                                                                                                                                        -02 (D)
                                                                                                                                                                                                                                                                                                                                 r10 0.0977778
                                                                                                                                                                                                                                                                                                                                                                                                                                    r11 -0.149711
                                                                                                                                                                                                                                                                                                                                                                                                                                                                                                                                       r12 0.4472866
                                                                                                                                                                                                                                                                                                                                                                                                                                                                                                                                                                                                                                                                                                        -02 (D)
                                                                                                                                                                                                                                                                                                                                                                                                                                                                                                                                                                                                                                                                                                        -02 (D)
                                                                                                                                                                                                                                                                                                                                 r13 -2.13994
                                                                                                                                                                                                                                                                                                                                                                                                                                                                                                                                       r15 -1.957207
                                                                                                                                                                                                                                                                                                                                                                                                                                     r14 3.647721
                                                                                                                                                                                                                                                                                                                                                                                                                                                                                                                                                                                                                                                                                                        -02 (D)
                                                                                                                                                                                                                                                                                                                                                                                                                                                                                                                                                                                                                                                                                                        -02 (D)
                                                                                                                                                                                                                                                                                                                                                                                                                                                                                                                                                                                                                                                                                                          -02 (D)
Curve-fitting results using 4-th order polynomial:
                   UOC = + 3.216624e+00 ×SOC^0 - 1.609146e-01 ×SOC^1 + 8.490771e-01 ×SOC^2 - 9.194593e-01 ×SOC^3 + 2.762556e-
                          RS = + 2.308944e-02 *SOC^0 - 4.286351e-04 *SOC^1 - 9.700839e-03 *SOC^2 + 1.966657e-02 *SOC^3 - 1.199468e-
                          R1 = +8.536319e^{-02} \times SOC^0 + 7.895776e^{-02} \times SOC^1 - 9.468551e^{-01} \times SOC^2 + 1.560227e^{+00} \times SOC^3 - 7.807255e^{-10} \times SOC^3 + 1.560227e^{-10} \times SOC^3 + 1.560227e^
                           C1 = + 5.948013e+02 ×SOC^0 + 8.311781e+01 ×SOC^1 + 4.331012e+01 ×SOC^2 + 4.480362e+03 ×SOC^3 - 3.447726e+
                           R2 = + 1.238981e-02 \times SOC^0 - 3.713808e-04 \times SOC^1 - 1.350004e-02 \times SOC^2 + 1.115110e-02 \times SOC^3 - 2.675919e-02 
                           C2 = + 1.199374e+02 *$OC^0 - 7.873988e+01 *$OC^1 + 4.100710e+02 *$OC^2 - 5.820765e+02 *$OC^3 + 2.648964e+
Curve-fitting results using 5-th order polynomial:
                   UOC = +3.176970e+00 \times SOC^0 + 5.694929e-01 \times SOC^1 - 3.604045e+00 \times SOC^2 + 1.089949e+01 \times SOC^3 - 1.386894e+
                          RS = +2.283602e-02 \times SOC^0 + 4.239268e-03 \times SOC^1 - 3.815994e-02 \times SOC^2 + 9.519936e-02 \times SOC^3 - 1.023941e-02 \times SOC^3 + 0.519936e-02 \times SOC^3 + 0.519966e-02 \times SOC^3 + 0.519666e-02 \times
                           R1 = + 9.777778e-02 ×SOC^0 - 1.497114e-01 ×SOC^1 + 4.472866e-01 ×SOC^2 - 2.139940e+00 ×SOC^3 + 3.647721e+
                           C1 = + 4.525364e+02 ×SOC^0 + 2.703549e+03 ×SOC^1 - 1.593284e+04 ×SOC^2 + 4.688238e+04 ×SOC^3 - 5.419546e+
                           R2 = + 1.200167e - 02 \times SOC^0 + 6.777861e - 03 \times SOC^1 - 5.708728e - 02 \times SOC^2 + 1.268352e - 01 \times SOC^3 - 1.411294e - 02 \times SOC^3 - 1.411294e - 
                          C2 = + 1.335598e+02 ×SOC^0 - 3.296563e+02 ×SOC^1 + 1.939849e+03 ×SOC^2 - 4.642233e+03 ×SOC^3 + 5.124187e+
```

Model Options Model Parameters | Conductive Zones | Electric Contacts |

Electric Circuit Model Parameter

✓ Using polynomials

1

Initial State of Charge Reference Capacity (ah)

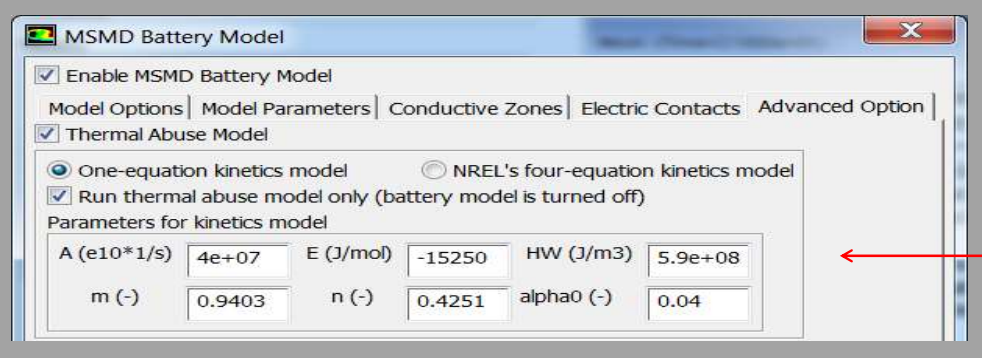
0.85

### 热滥用模型的拟合工具

### 数据可以被拟合为以下两种函数形式:

$$\begin{vmatrix} \frac{d\alpha}{dt} = A \exp\left[-\frac{E}{RT}\right] \alpha^m (1-\alpha)^n \\ \frac{d\alpha}{dt} = A \exp\left[-\frac{E}{RT}\right] \alpha^m \end{vmatrix}$$

### 拟合结果自动传到电池的GUI面板上



Copyright (C) IDAJ Co., LTD. All Rights Reserved.

```
/define/models/batteru-model> parameter-estimation-tool
Parameter Estimation for Model:
        1: NTGK Model
        2: ECM Model
        3: Thermal Abuse Model
Model option: [3] 3
 The fitting is based on the following equation
     Uol×rho×Cp×dT/dt = Uol×H×A×exp(-E/RT)*alpha^m×(1-alpha)^n
           - Area×h(T-T0) - Area×sigma×epsilon×(T^4-T inf^4)
     where: Vol
                    battery volume
            Area
                    external area
            Rho
                    densitu
                    specific heat
            Ср
                    heat transfer coefficent
                    stefan-boltzmann constant
            epsilon surface emissivity
                    heat of reaction
                    pre-exponential factor
                    activation energy
                   reaction progress variable
                    reaction order
 User provides battery's ARC testing data, i.e., temperature~time,
 and this tool will find kinetics parameters for the one-equation
 thermal abuse model: H. A. E. m and n.
 Note:
 n can be set to 0 if user does not want to include (1-alpha)^n term.
 File name for temperature testing data: [] Cell_T.txt
 Density*Cp (J/m3) [2368000]
 Battery external area (m^2) [0]
 Battery volume (m^3) [0.0001722]
 Battery's initial temperature (K) [300]
 Ambient temperature for convection (K) [300]
 External heat transfer coefficient (W/m^2K) [0]
 Enclosure temperature for radiation (K) [300]
 Battery's surface emissivity [0]
 Fix n=0 or not? [nol
 Parameter Estimation Results:
  HW=5.858699e+08 A=3.972702e-03 E=-1.524988e+04 m= 0.9403 n= 0.4251
/define/models/battery-model>
```

# 热滥用模型

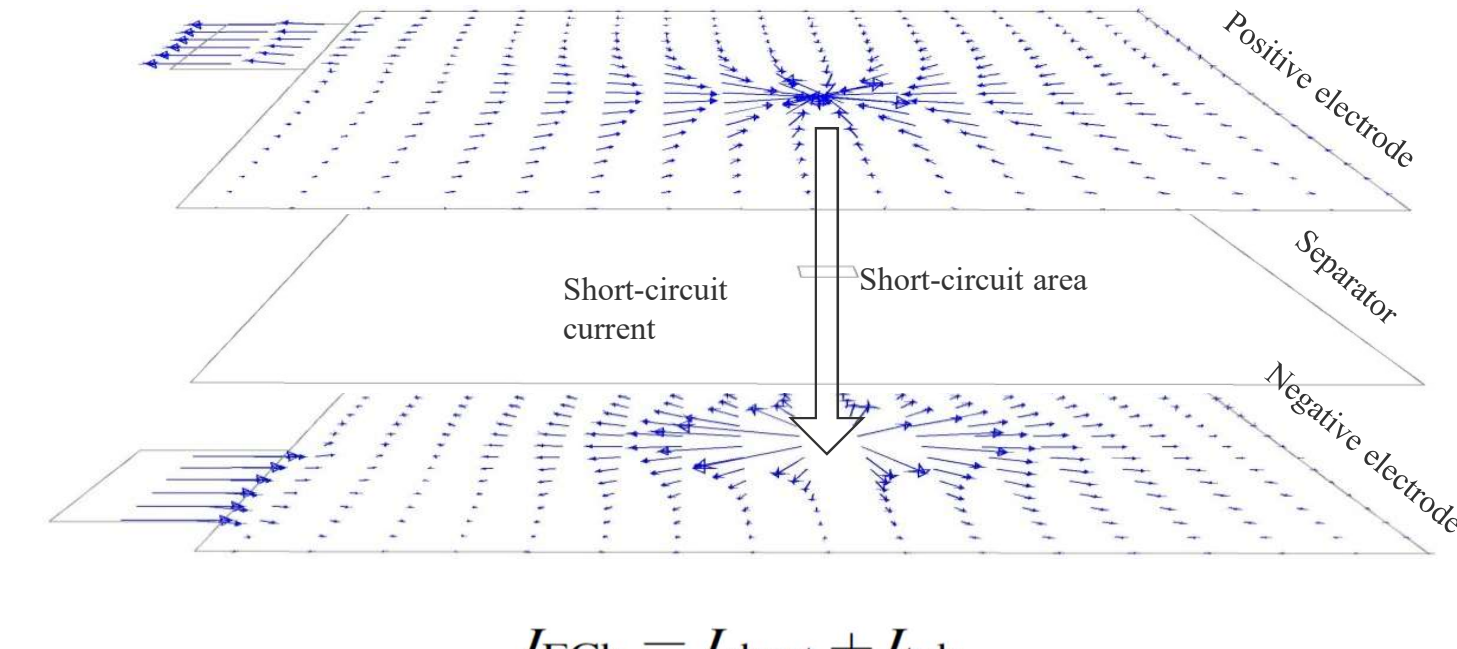
# 内部短路

- 内部短路
- 由于电池局部损坏(隔膜破损),产生穿刺或其他事件,导致正极和负极直接接触。





■内部短路是电池运行的重要故障模式。 这涉及到电池的安全问题。



$$j_{ ext{short}}' = rac{\phi_+ - \phi_-}{r_c} \ \dot{q}_{ ext{short}}' = rac{(\phi_+ - \phi_-)^2}{r_c}$$

$$I_{\text{ECh}} = I_{\text{short}} + I_{\text{tab}}$$

## 内部短路处理

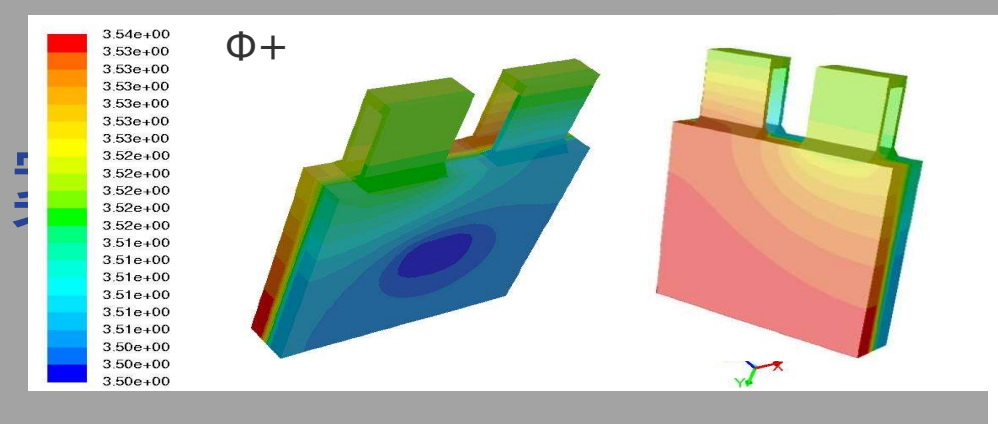
• 在存在内部短路的情况下,可以如下修改控制方程::

$$\begin{split} &\frac{\partial \rho C_p T}{\partial t} - \nabla \cdot (k \nabla T) = \sigma_+ |\nabla \phi_+|^2 + \sigma_- |\nabla \phi_-|^2 + \dot{q}_{\text{ECh}} + \dot{q}_{\text{short}} \\ &\nabla \cdot (\sigma_+ \nabla \phi_+) = - (j_{\text{ECh}} - j_{\text{short}}) \\ &\nabla \cdot (\sigma_- \nabla \phi_-) = j_{\text{ECh}} - j_{\text{short}} \end{split}$$

• 短路处理在MSMD框架中完成

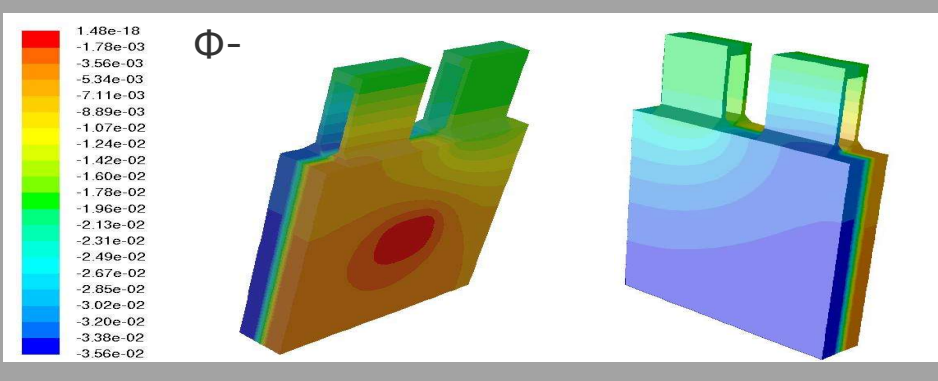
## 注释

- ·All the battery model features are compatible with the electric short treatment所有电池型号功能都兼容电短路处理
  - 它可以与任何电化学子模型耦合
  - 它可以与热滥用模型耦合
  - 它可以用于电池包仿真
  - 外部短路和内部短路可能同时发生
  - 在正常电池电负载边界条件下会发生电短路
    - 例如,如果电池在恒定电流下工作并发生短路,则由电化学反应产生的总电流=总电极系统电流+总短路电流。.

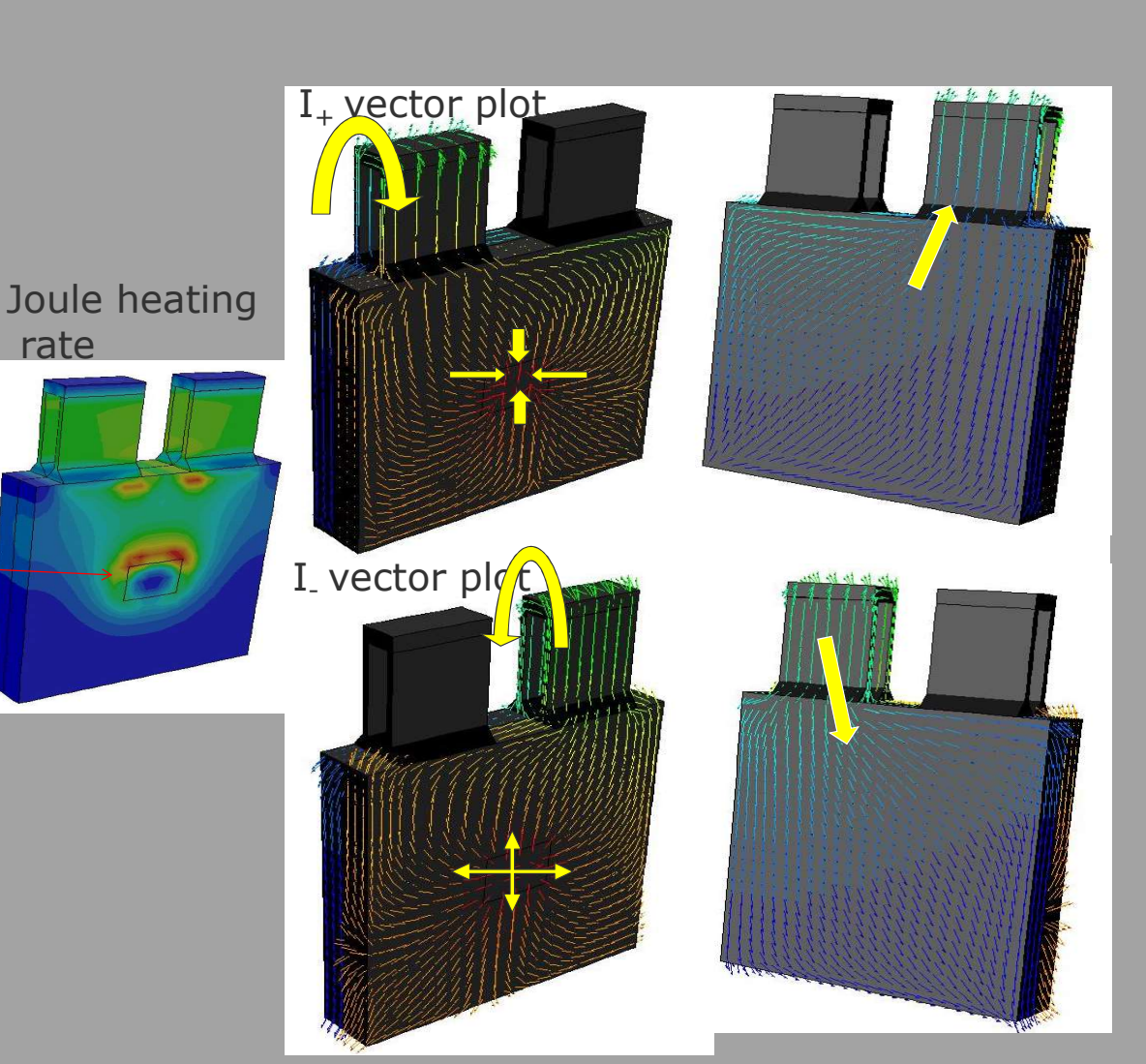


rate

Short circuit occurs only in the square zone of the first battery



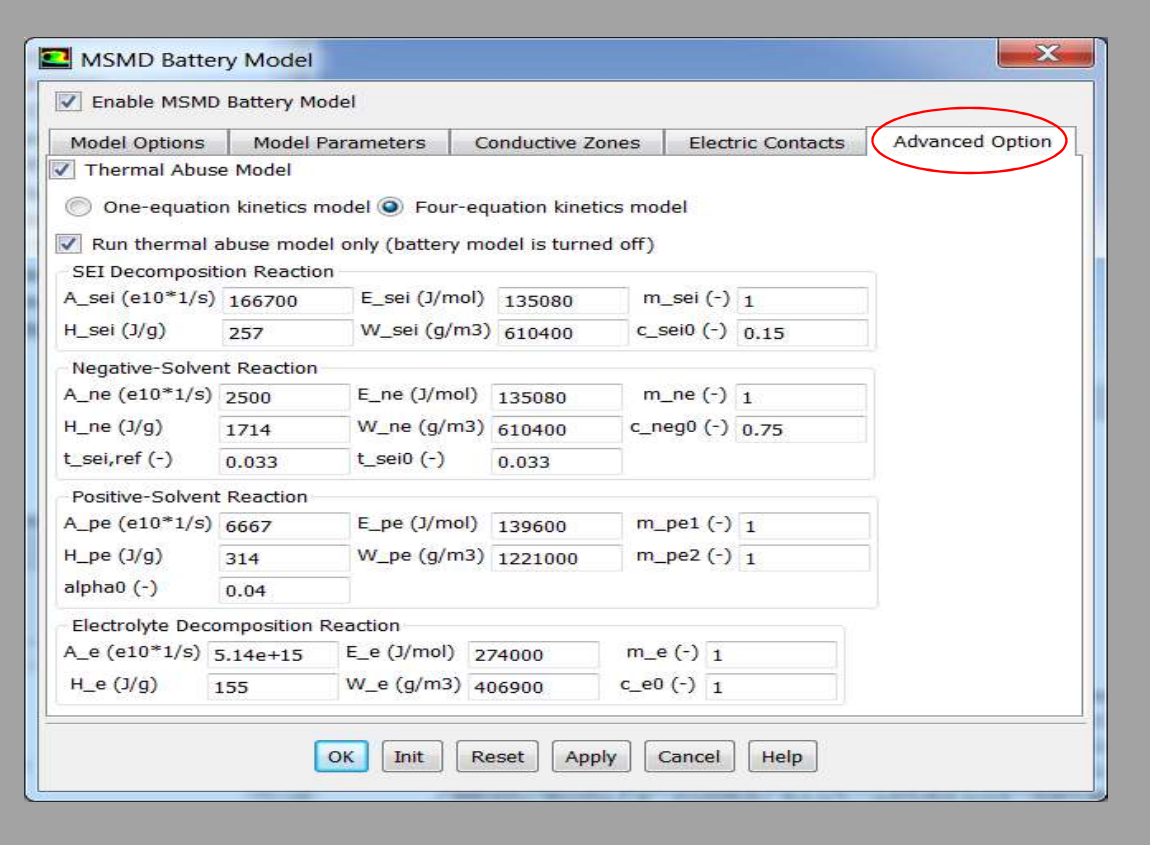


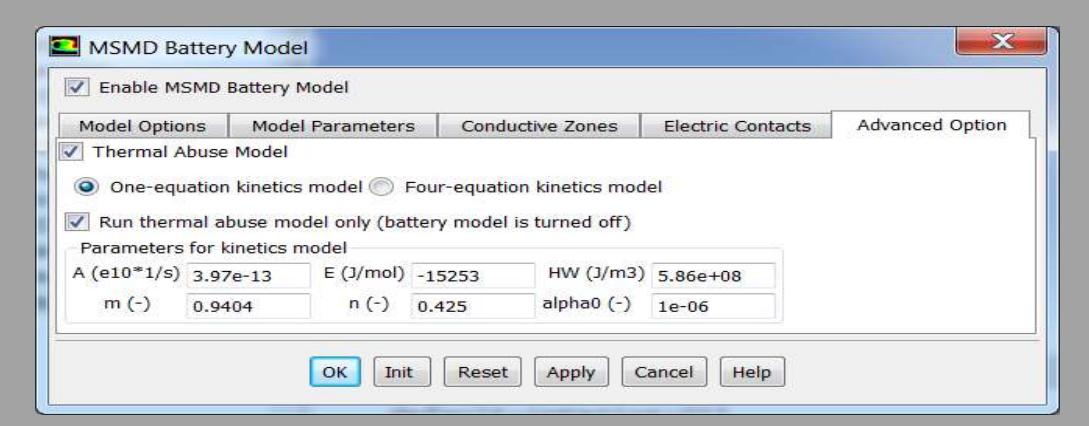


## 热滥用模型

- 在高温下,电池内可能会发生放热分解反应。 Lump kinetics团块动力学模型用于模拟这些分解反应。.
- Fluent Fluent中提供了两种热滥用模型
  - 一方程模型
  - NREL 四方程模型
- 一个参数估计工具已被放入FLUENT中,以从电池的测试数据中获得单方程模型参数(如前所述)

## 热滥用模型的GUI设计





- 热滥用模型可以单独运行 (不需要运行电化学模型).
- · 单方程模型中的动力学参数可以通过运行FLUENT提供的参数估计工具来获得.

## 使用拟合工具的过程

### 拟合工具在TUI下

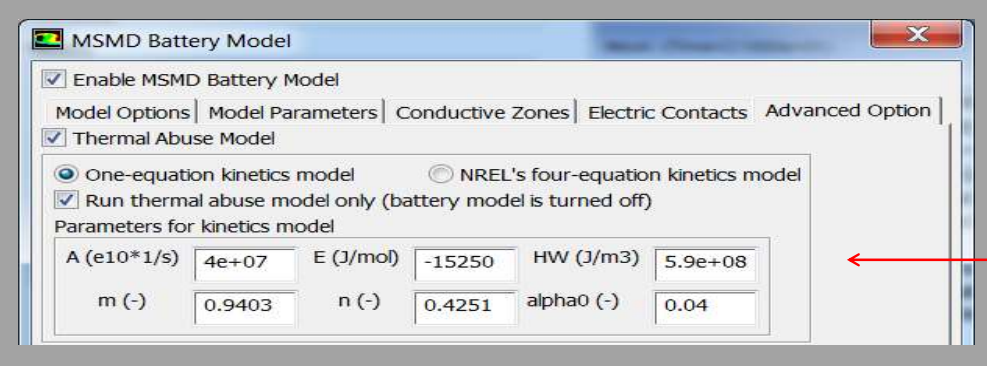
define/model/battery/parameter-estimation-tool

### 数据可以拟合以下两种函数形式:

$$\frac{d\alpha}{dt} = A \exp\left[-\frac{E}{RT}\right] \alpha^m (1-\alpha)^n$$

$$\frac{d\alpha}{dt} = A \exp\left[-\frac{E}{RT}\right] \alpha^m$$

### 拟合结果自动传到电池的GUI面板上

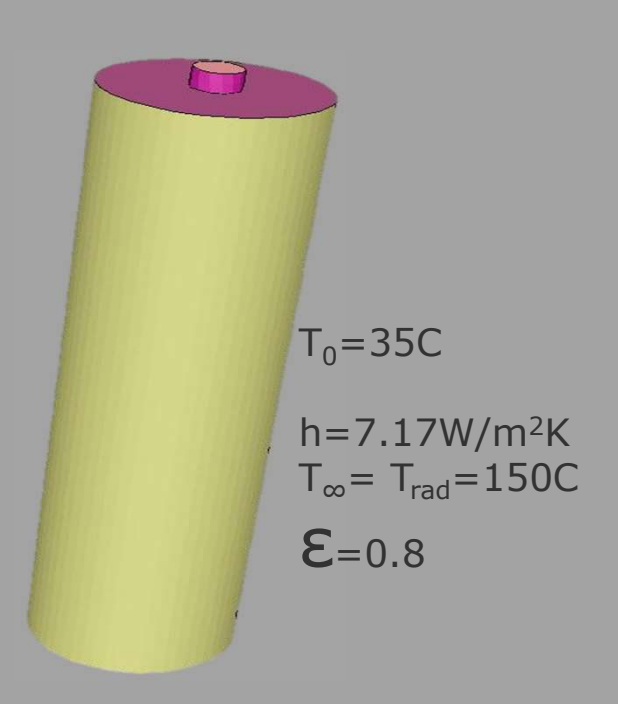


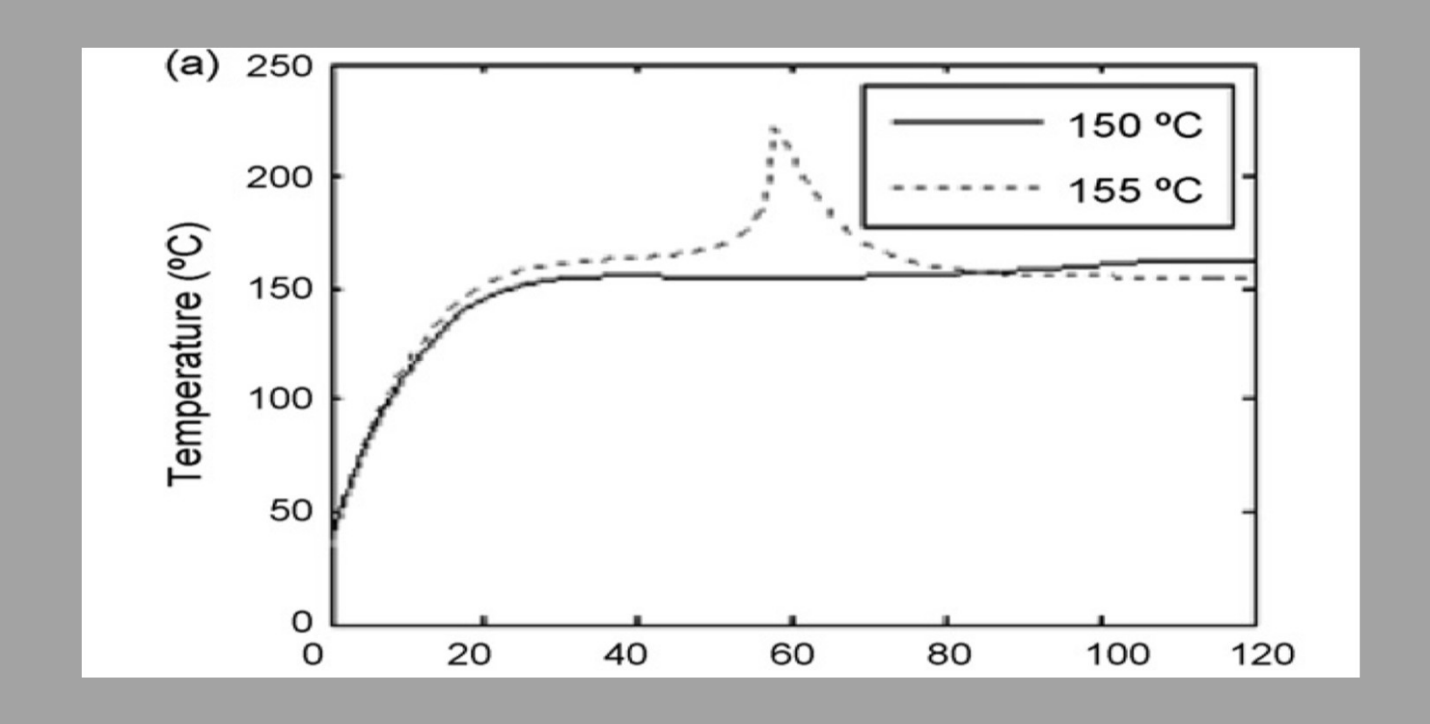
Copyright (C) IDAJ Co., LTD. All Rights Reserved.

```
/define/models/battery-model> parameter-estimation-tool
Parameter Estimation for Model:
        1: NTGK Model
        2: ECM Model
        3: Thermal Abuse Model
Model option: [3] 3
 The fitting is based on the following equation
     Uol*rho*Cp*dT/dt = Uol*H*A*exp(-E/RT)*alpha^m*(1-alpha)^n
           - Area×h(T-T0) - Area×sigma×epsilon×(T^4-T inf^4)
     where: Vol
                    battery volume
            Area
                    external area
            Rho
                    densitu
                    specific heat
            Ср
                    heat transfer coefficent
                    stefan-boltzmann constant
            epsilon surface emissivity
                    heat of reaction
                    pre-exponential factor
                    activation energy
                    reaction progress variable
                    reaction order
 User provides battery's ARC testing data, i.e., temperature~time,
 and this tool will find kinetics parameters for the one-equation
 thermal abuse model: H. A. E. m and n.
 Note:
 n can be set to 0 if user does not want to include (1-alpha)^n term.
 File name for temperature testing data: [] Cell_T.txt
 Density*Cp (J/m3) [2368000]
 Battery external area (m^2) [0]
 Battery volume (m^3) [0.0001722]
 Battery's initial temperature (K) [300]
 Ambient temperature for convection (K) [300]
 External heat transfer coefficient (W/m^2K) [0]
 Enclosure temperature for radiation (K) [300]
 Battery's surface emissivity [0]
 Fix n=0 or not? [nol
 Parameter Estimation Results:
  HW=5.858699e+08 A=3.972702e-03 E=-1.524988e+04 m= 0.9403 n= 0.4251
/define/models/battery-model>
```

# 案例: NREL 四方程模型

#### 18650 cell





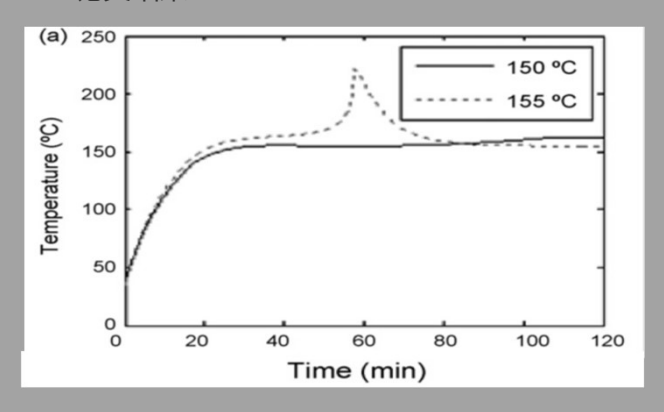
#### 测试案例来源于NREL论文:

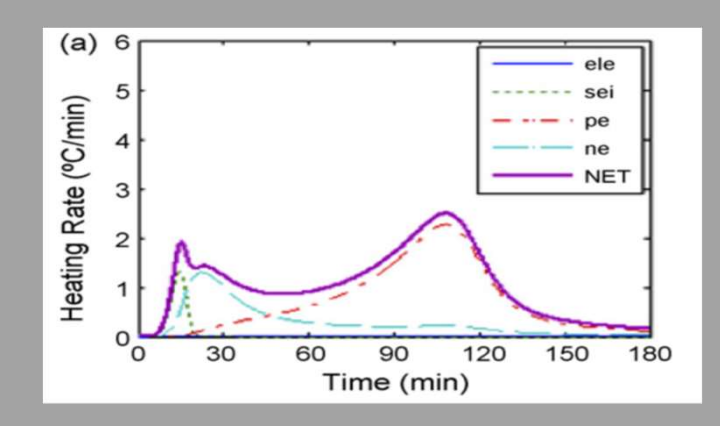
Gi-Heon Kim, Ahmad Pesaran, Robert Spotnitz, "A Three-dimensional thermal abuse model for lithium-ion cells", J. of Power Resources, 170. 2007

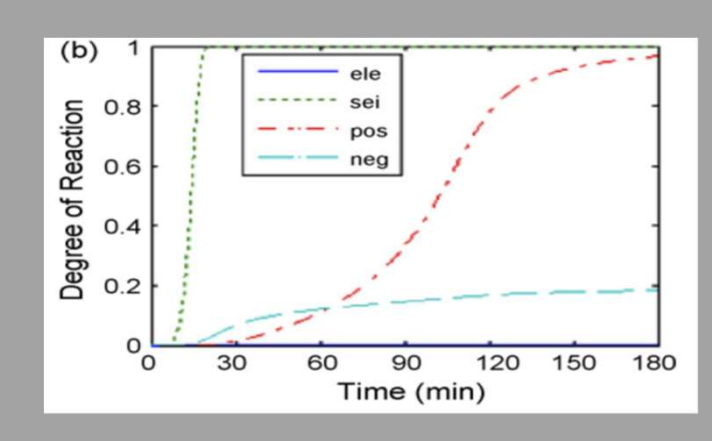
Copyright (C) IDAJ Co., LTD. All Rights Reserved.

# NREL验证案例

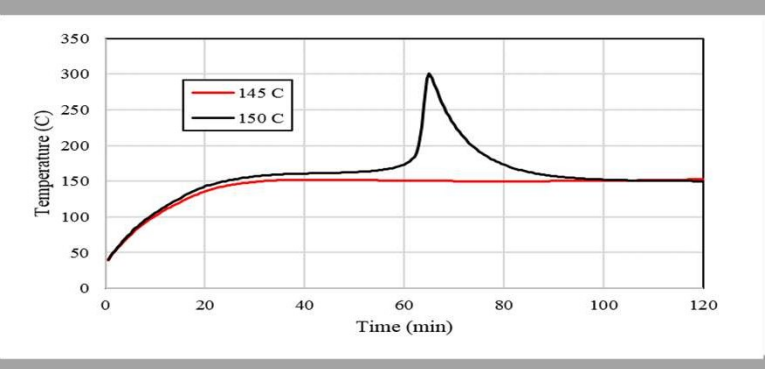
#### NREL论文结果

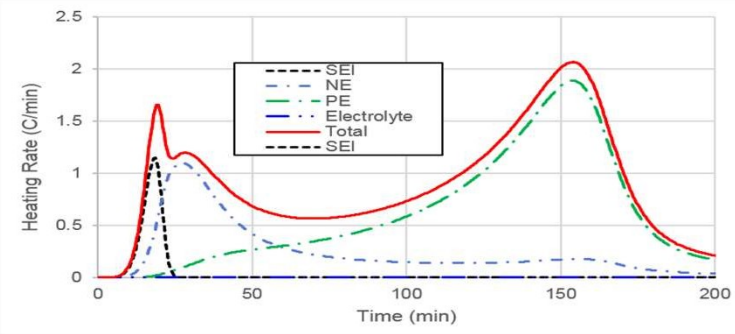


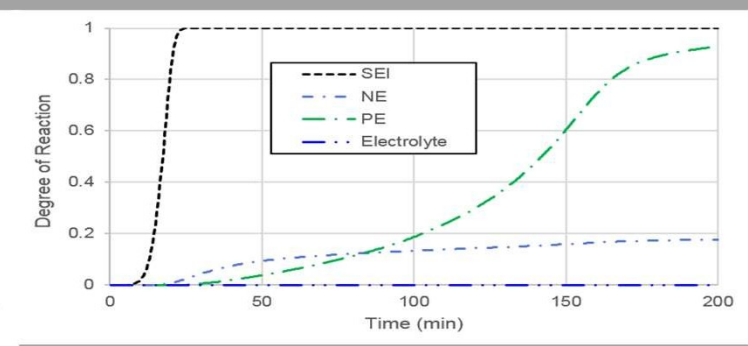




Fluent 运行结果







结果非常相似,细微的差异可能是由不同的热边界条件引起的。

Copyright (C) IDAJ Co., LTD. All Rights Reserved.

# 降阶模型(ROM)

在MSMD框架中,在瞬态求解器中重复求解两个势能方程.

$$\nabla \cdot (\sigma_{+} \nabla \phi_{+}) - j = 0$$

$$\nabla \cdot (\sigma_{-} \nabla \phi_{-}) + j = 0$$

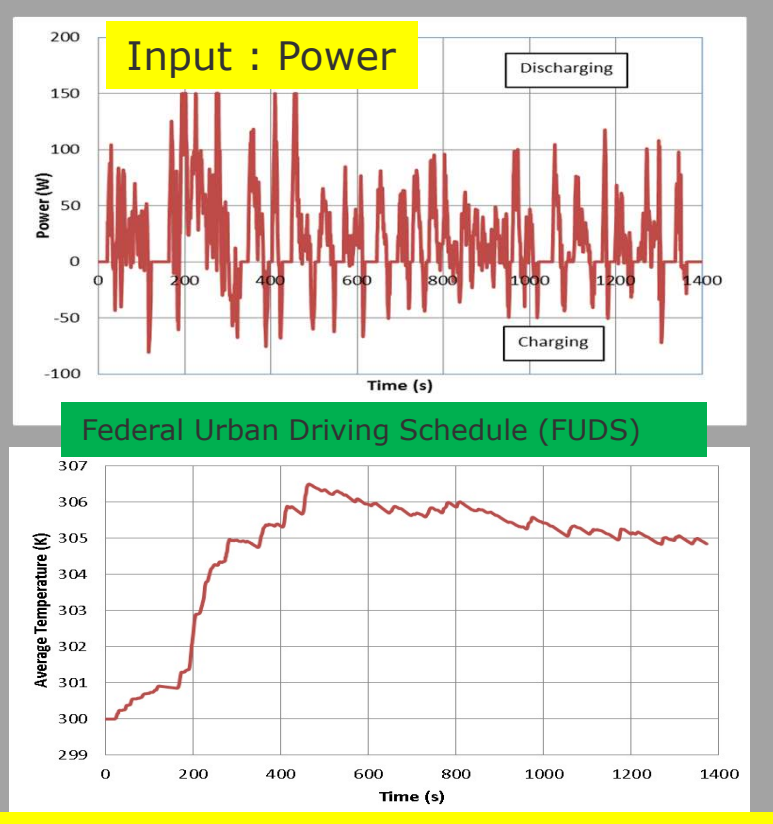
在统一的电化学反应条件下(这通常是电池模拟中的良好假设),有一种简单的方法可以获得两个势场,而不是直接求解它们。

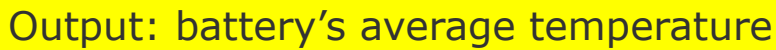
- 电导率不依赖于温度
- 转移电流密度在电池的有效区域内是均匀的
- 没有内部短路

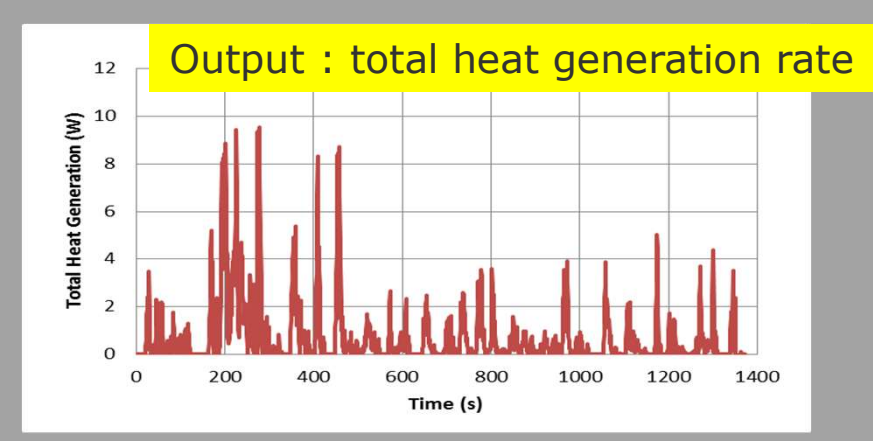
完整的电化学 - 热耦合仿真的成本降低到纯热模拟.

## Why ROM?

在具有实际行驶循环的电池仿真中,优先使用小时间步进行电仿真,而对于其他流场变量使用大时间步





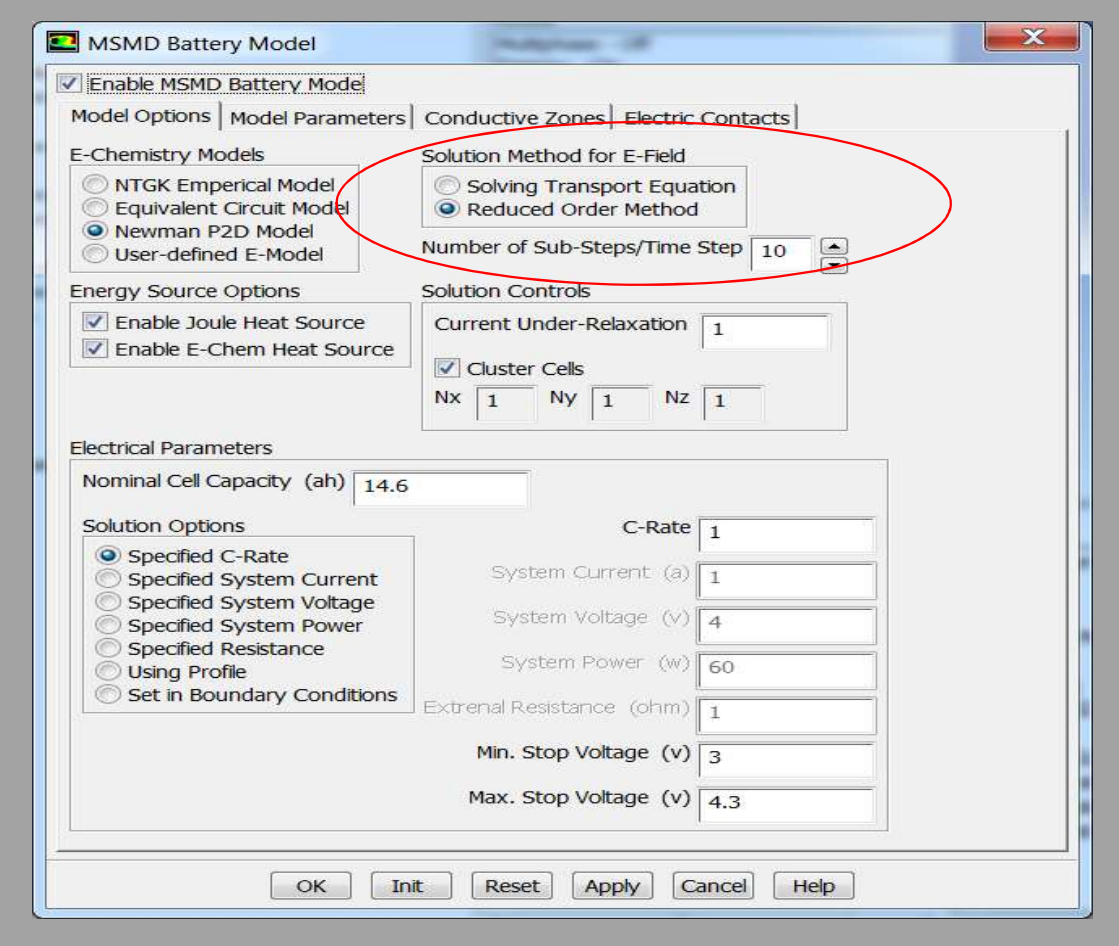


电场变化剧烈,而温度场变化相对平稳。.

- 我们可以使用一小段时间步计算电场,大时间步计算热场
- 在热量计算中使用电场计算的时间平均热量生成

Copyright (C) IDAJ Co., LTD. All Rights Reserved.

### FLUENT GUI 设计



### 注意:

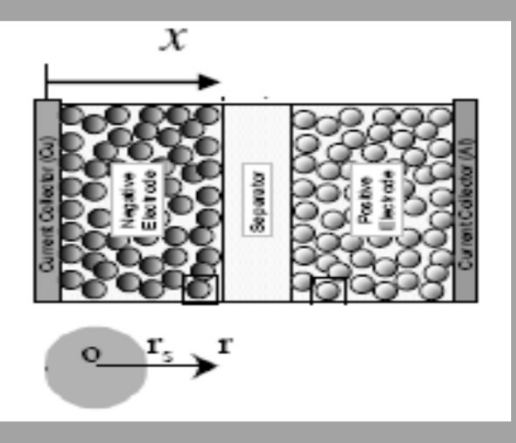
• 在使用 "Reduced Order Method" 之前, 用户必须首先使用 "Solving Transport Equation" 方法计算几个时间步骤以获取 参考场。.

Copyright (C) IDAJ Co., LTD. All Rights Reserved.

### 附录2: MSMD子模型

- Newman P2D 子模型
- NTGK 子模型
- ECM子模型

### Newman P2D 子模型



#### **Domains**

- negative electrode
- separator
- positive electrode
- spherical particles

$$\nabla \cdot (\sigma \nabla \phi_{s}) - j^{Li} = 0 \qquad \nabla \cdot (k \nabla \phi_{e}) + \nabla \cdot (k_{D} \nabla \ln c_{e}) + j^{Li} = 0 \qquad j^{Li} = \xi_{a} i_{0} \left\{ \exp \left( \frac{\alpha_{a} F}{RT} \eta \right) - \exp \left( -\frac{\alpha_{c} F}{RT} \eta \right) \right\}$$

$$\frac{\partial (\varepsilon_{e} c_{e})}{\partial t} = \nabla \cdot (D_{e} \nabla c_{e}) + \frac{1 - t^{+}}{F} j^{Li} \qquad \frac{\partial c_{s}}{\partial t} = \frac{D_{s}}{r^{2}} \frac{\partial}{\partial r} \left( r^{2} \frac{\partial c_{s}}{\partial r} \right)$$

- 每个CFD网格中求解一系列偏微分方程
  - 方程总数: (n\_Cs+2) \*n\_NE + 2n\_SP+(N\_Cs+2) n\_PE
  - 内存需求: N\_cell\*{(n\_Cs+1) \*n\_NE+ n\_SP +(N\_Cs+1) n\_PE)}
- 单元集群可用于降低子模型计算成本
  - L. Cai and R.E. White, "Reduction of Model Order Based on Proper Orthogonal Decomposition for Lithium-Ion Battery Simulations" J. of Electrochemical. Soc. 156(3) A154-A161 (2009).

### NTGK 子模型

$$\nabla \cdot (\sigma_{+} \nabla \phi_{+}) = -j$$

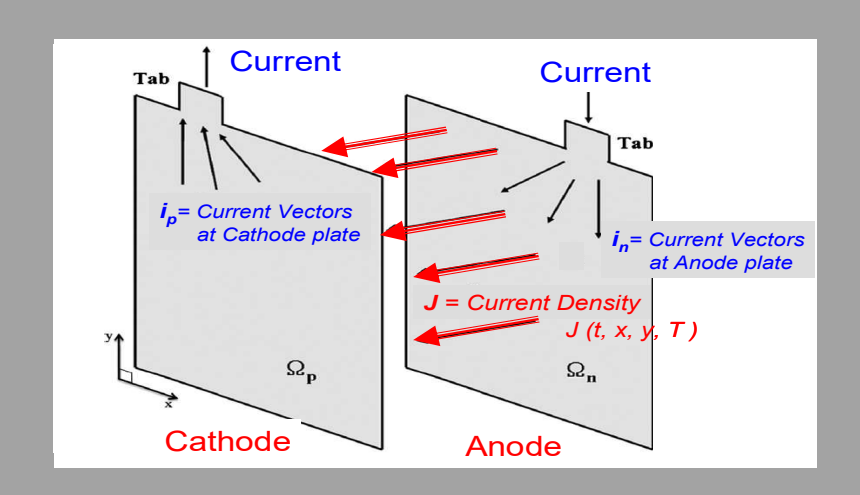
$$\nabla \cdot (\sigma_{-} \nabla \phi_{-}) = +j$$

$$j = Y (\phi_{+} - \phi_{-} - U)$$

$$DoD = \left(\int_{0}^{t} j \, dt\right) / Q_{T}$$

$$Y = \left(\sum_{n=0}^{5} b_{n} \left(DoD\right)^{n}\right) e^{C_{1}\left(\frac{1}{T_{ref}} - \frac{1}{T}\right)}$$

$$U = \left(\sum_{n=0}^{5} a_{n} \left(DoD\right)^{n}\right) - C_{2}\left(T - T_{ref}\right)$$



• 使用给定电池的不同C-rate放电曲线,用 Parameter estimation tool来拟合参数

### NTGK Model Evolution

- Newman & Tidemann: 1D

- Gu: 1D

– Kim et al: 2D

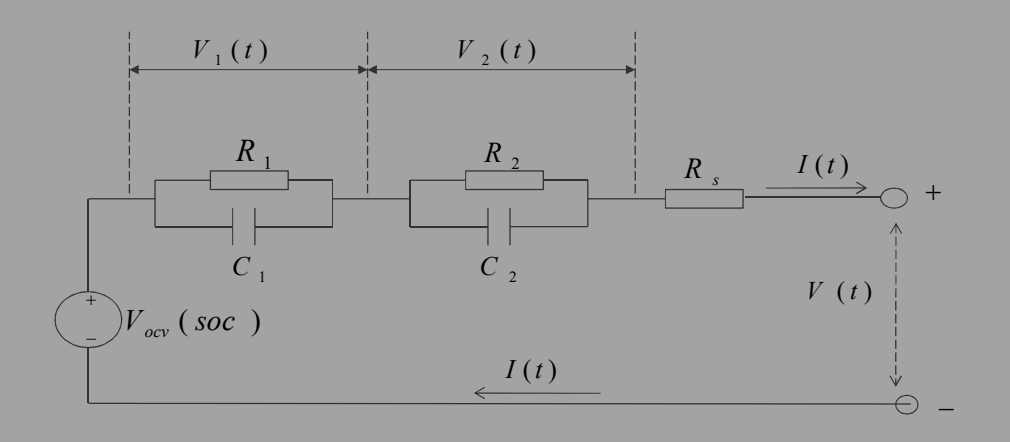
-ANSYS: 3D

U.S. Kim et al, "Modeling the Dependence of the Discharge behavior of a Lithium-Ion Battery on the Environmental Temperature" J. Electrochem. Soc., 158(5), A611-A618 (2001)

Copyright (C) IDAJ Co., LTD. All Rights Reserved.

# 等效电路模型(ECM)子模型

### Chen & Rincon-Mora (2006)

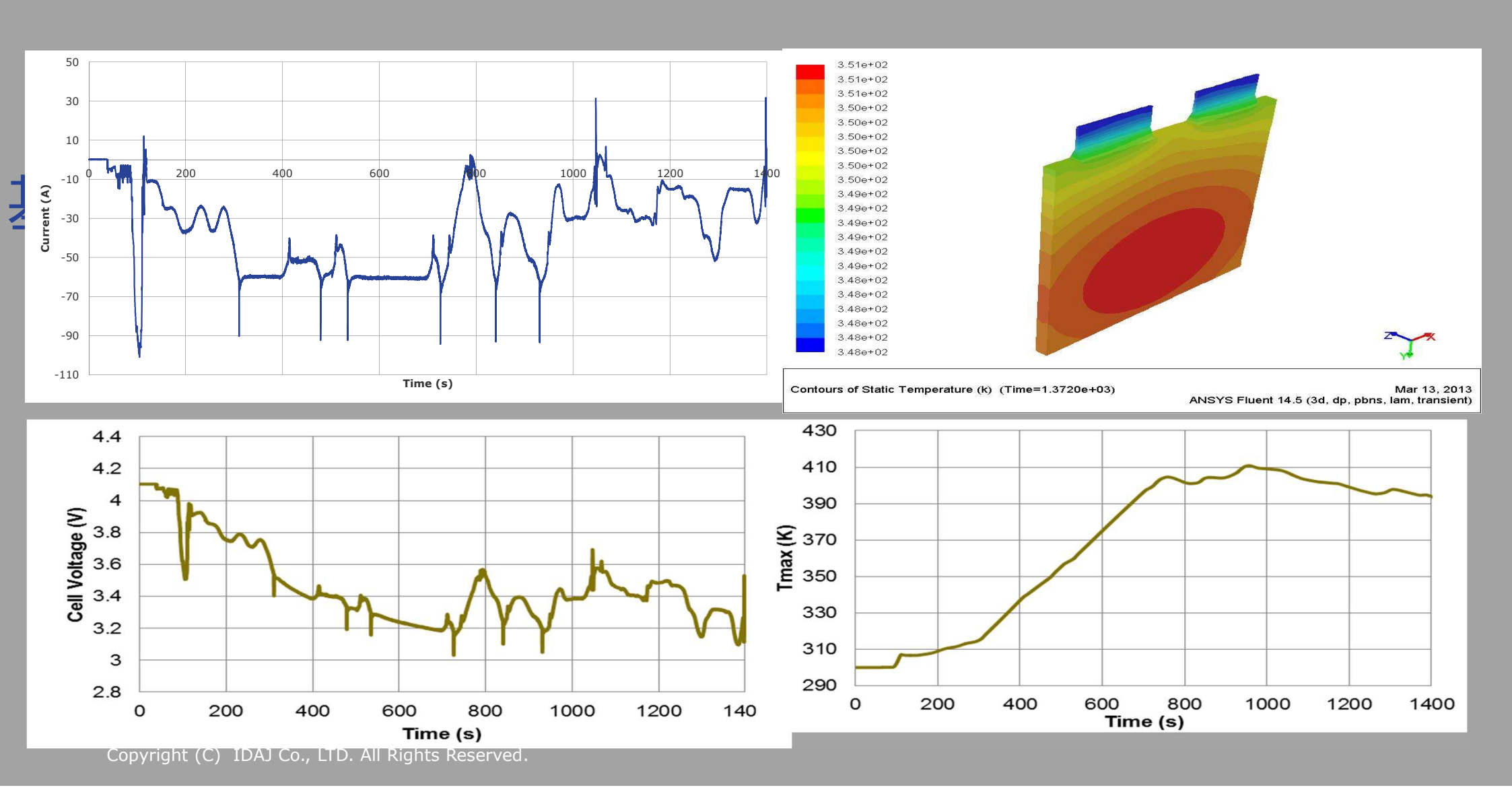


### **Model Equations**

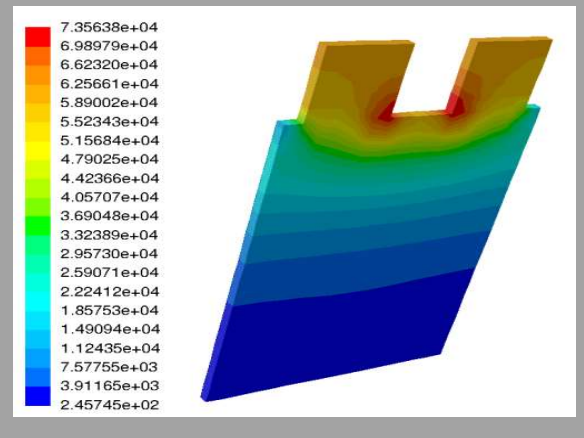
$$\begin{cases} V(t) = V_{OCV} & (soc_{-}) + V_{1} + V_{2} - R_{s} (soc_{-})I(t) \\ \frac{dV_{1}}{dt} = -\frac{1}{R_{1}(soc_{-})C_{1}(soc_{-})}V_{1} - \frac{1}{C_{1}(soc_{-})}I(t) \\ \frac{dV_{2}}{dt} = -\frac{1}{R_{2}(soc_{-})C_{2}(soc_{-})}V_{2} - \frac{1}{C_{2}(soc_{-})}I(t) \\ soc_{-} = soc_{-0} - \frac{\int_{0}^{t} I(t) dt}{3600 Q_{Ah}} \end{cases}$$

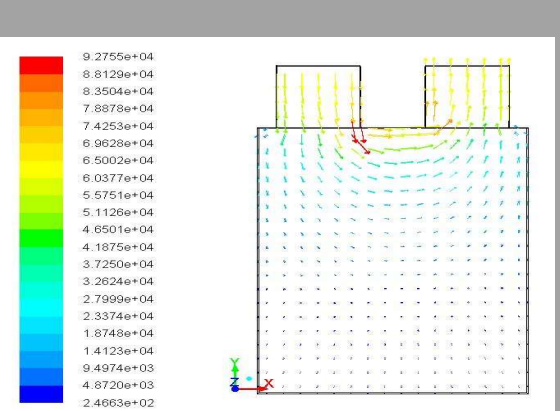
- 对于每个CFD单元,4种微分和代数方程(DAEs)都是用自适应时间步长方法求解的
- 使用HPPC 实验数据,用Parameter estimation tool拟合模型参数

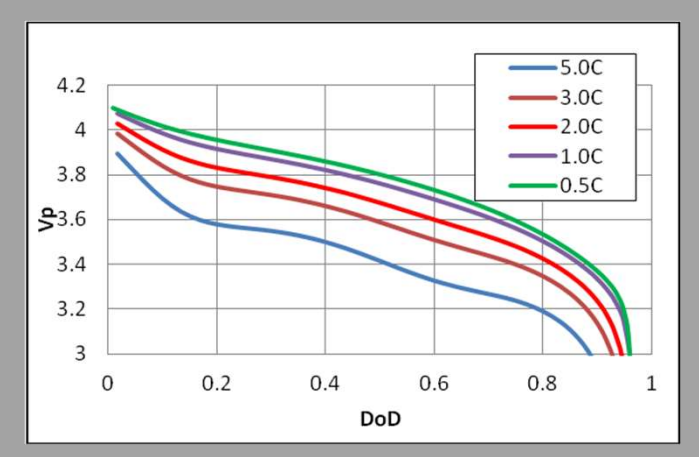
M. Chen and G. A. Rincon-Mora, "Accurate Electrical Battery Model Capable of Predicting Runtime and I-V Performance" IEEE Trans. On Energy Conversion, Vol. 21. No.2, June 2006

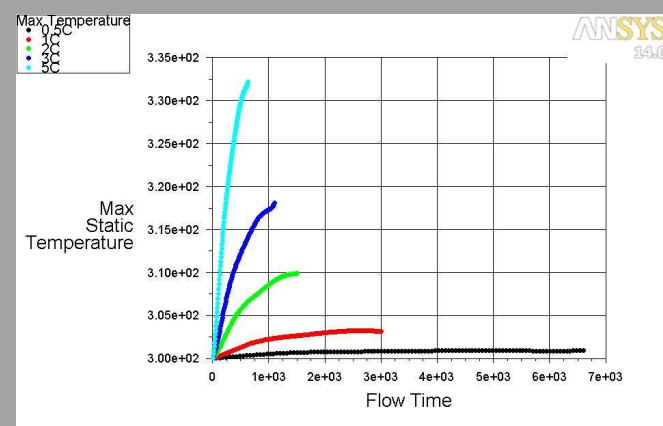


## 基于NTGK 子模型的计算结果

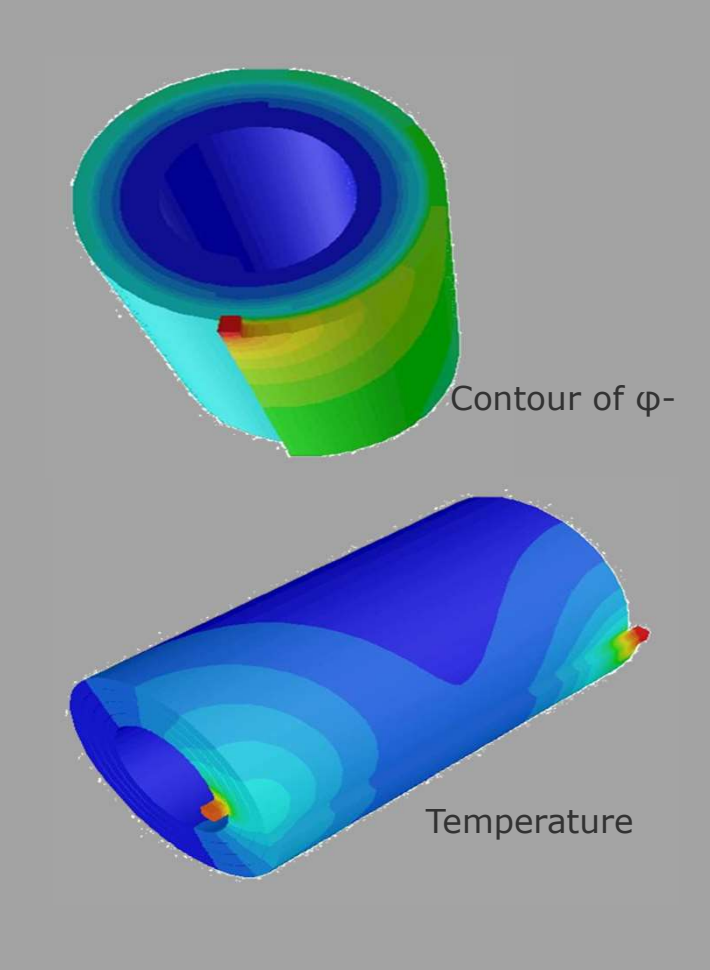








方形电池



圆柱形电池with discrete tabs

Copyright (C) IDAJ Co., LTD. All Rights Reserved.